

#### Módulo III

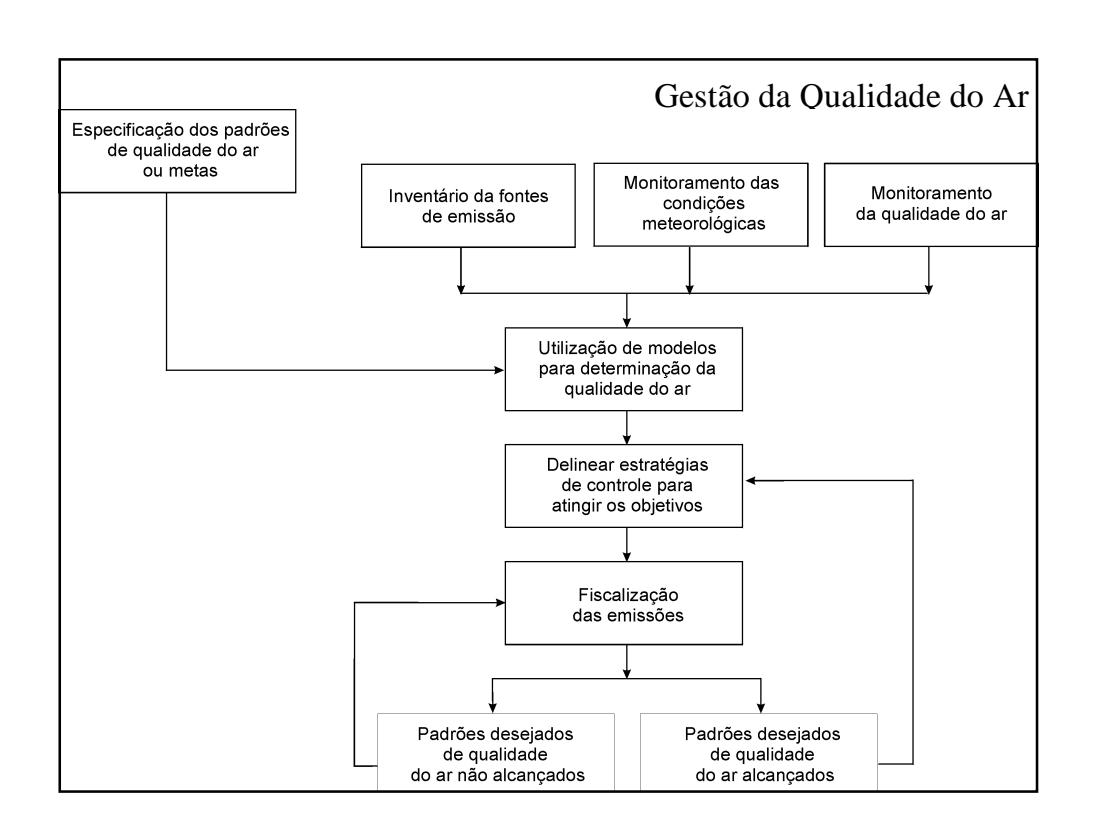
## Modelagem Matemática da Dispersão Atmosférica de Contaminantes

## Modelagem Matemática da Dispersão Atmosférica de Contaminantes

- Objetivos do uso de modelos de dispersão atmosférica
- Principais abordagens ao estudo de dispersão de poluentes na atmosfera

# Objetivos do uso de modelos de dispersão atmosférica

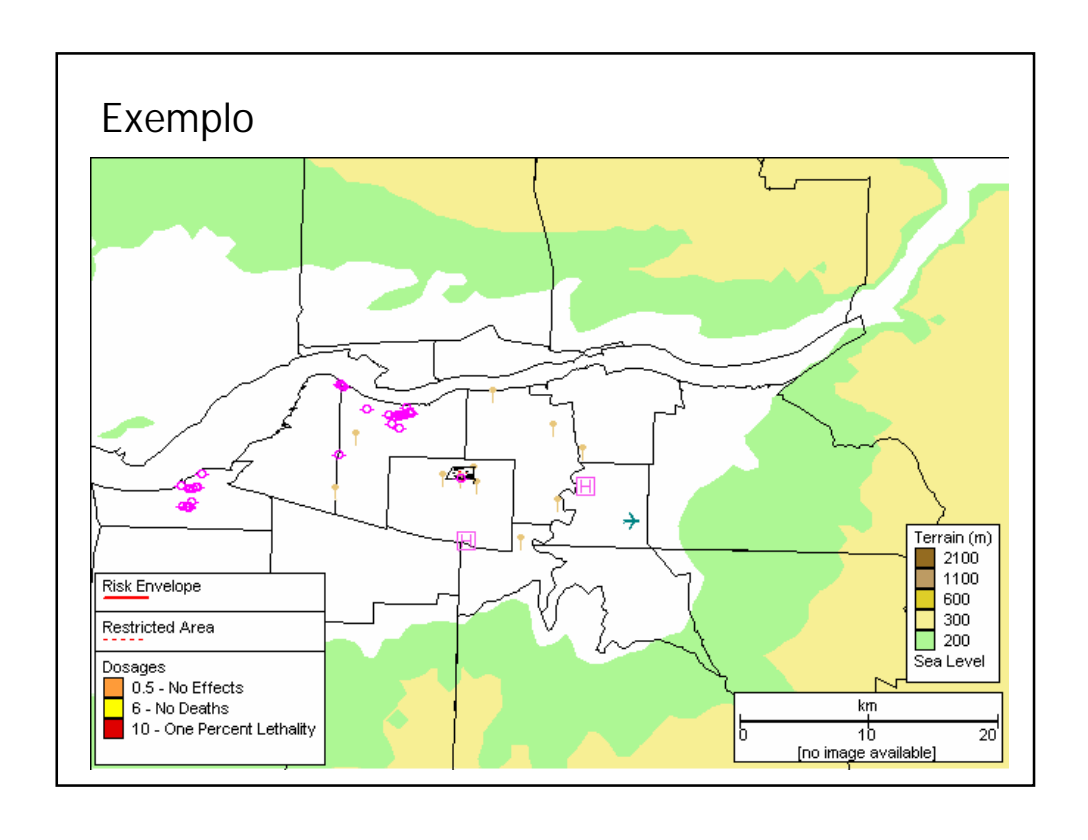
- Avaliação das eficiência de técnicas e estratégias propostas para o controle das emissões
- Estudo dos impactos ambientais (EIA) para um novo empreendimento
- Determinação de responsabilidades frente aos níveis atuais de poluição
- Planejamento da ocupação territorial urbana



### Estudo dos impactos ambientais e Avaliação da Qualidade do Ar

#### Normalmente está relacionada a 2 etapas:

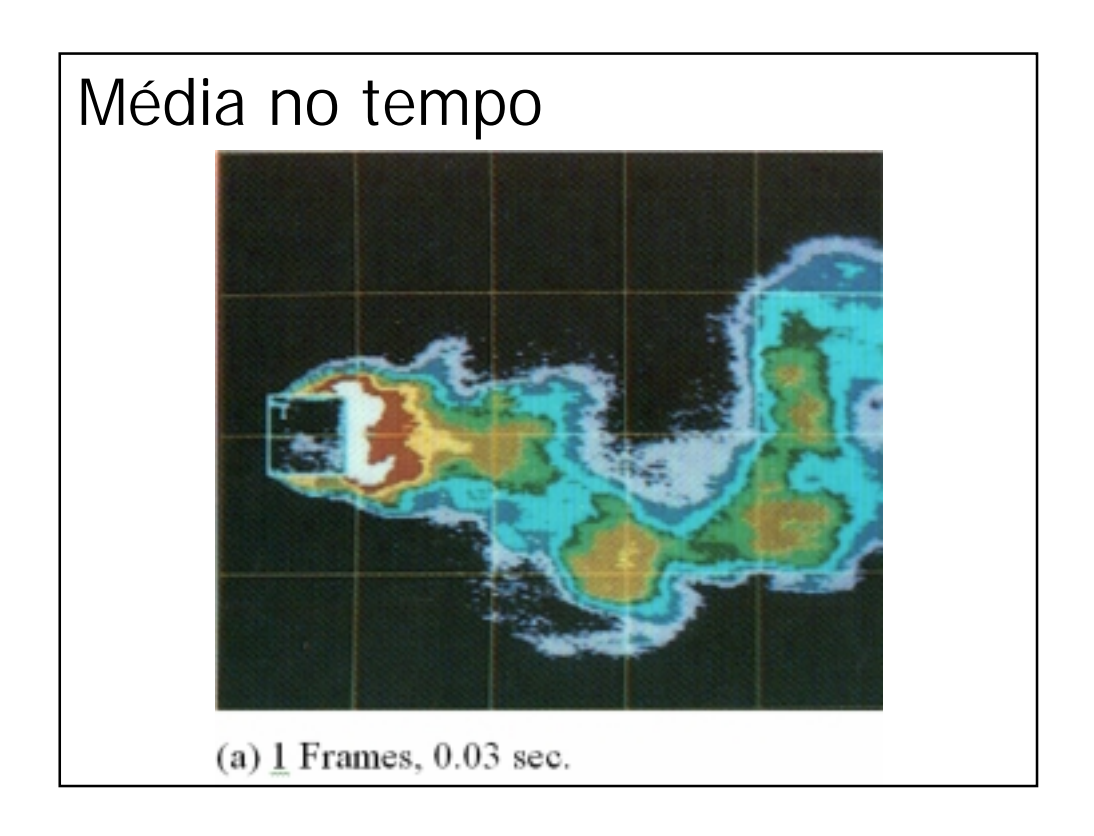
- Etapa 1: Empregar modelos de avaliação simplificados para se ter uma rápida estimativa se: (1) a fonte de emissão certamente causará um problema de poluição do ar ou (2) a fonte têm o potencial de causar um problema de qualidade do ar.
- Etapa 2: Se os resultados da avaliação simplificada revelarem que existem um potencial problema, métodos mais avançados de avaliação devem ser utilizados (como modelos mais avançados e maior atenção aos dados de entrada).

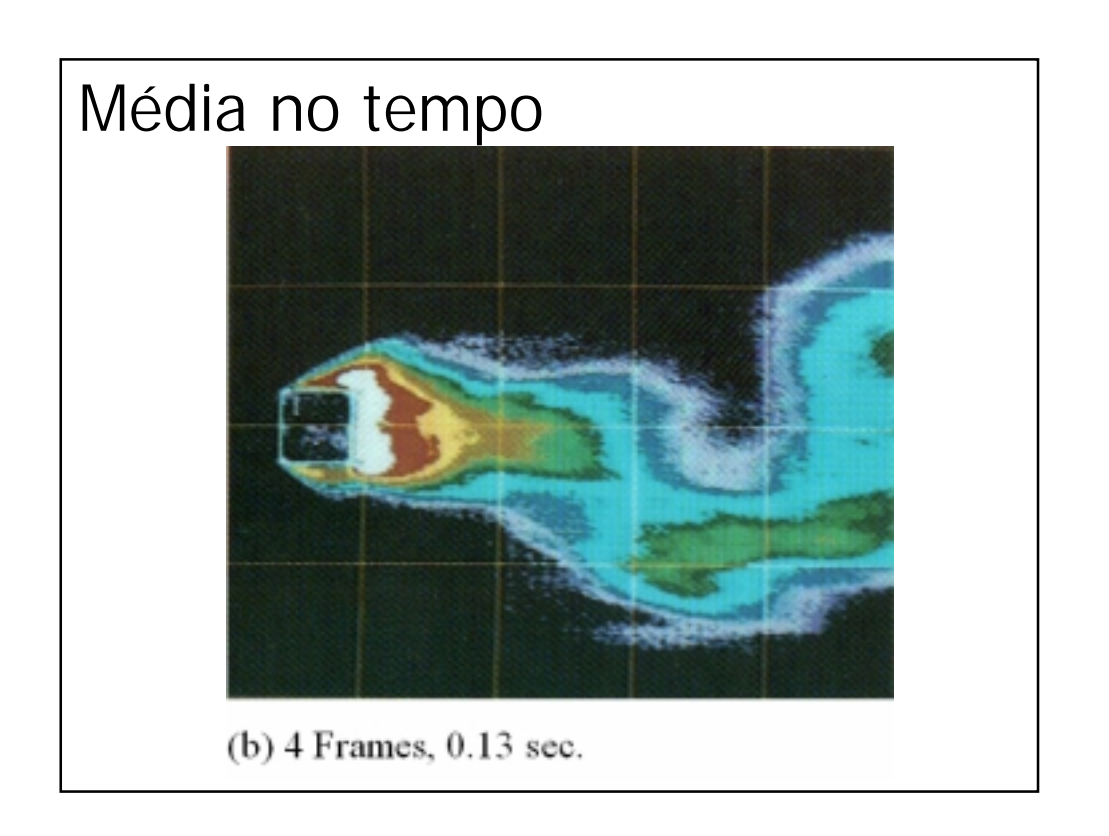


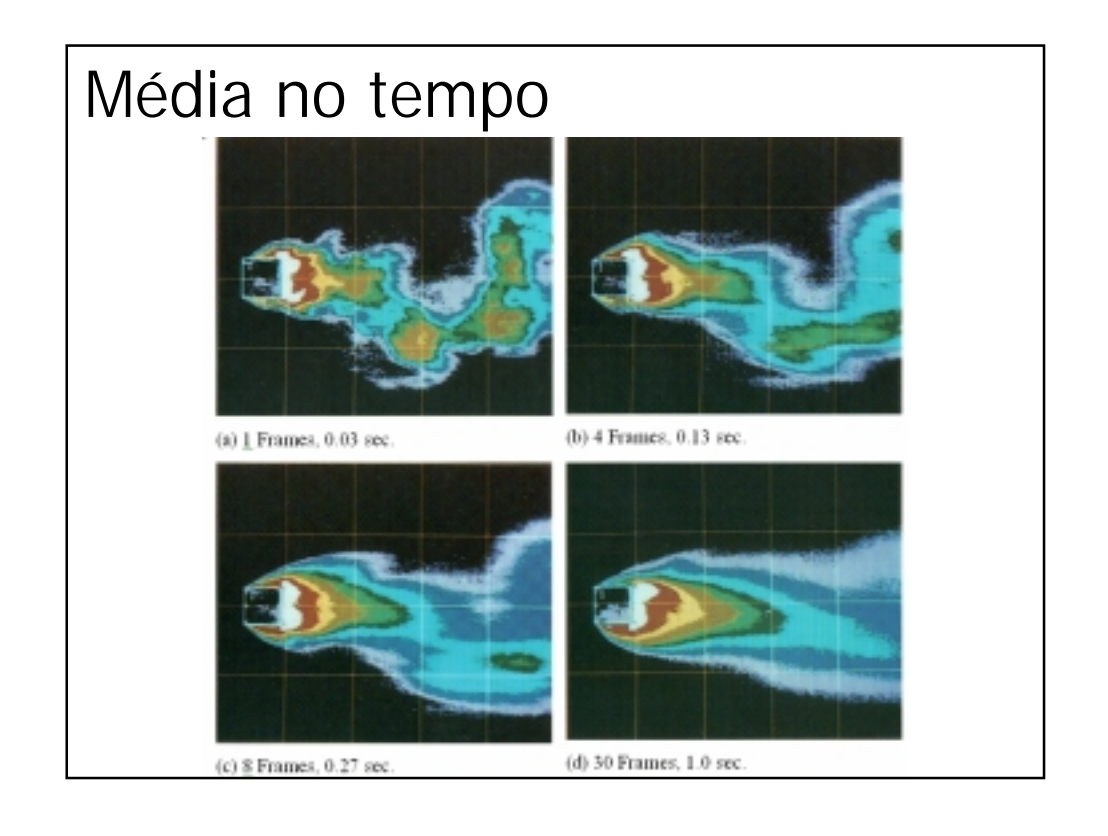


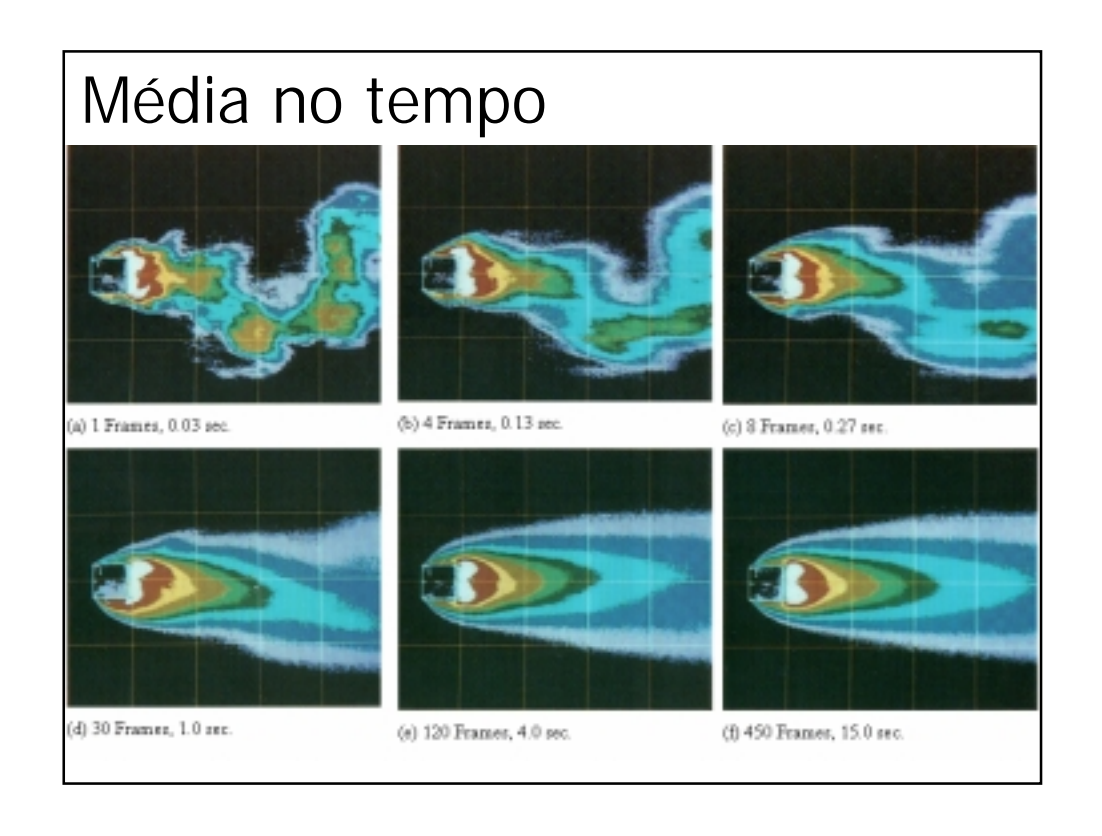
### **Modelos Gaussianos**

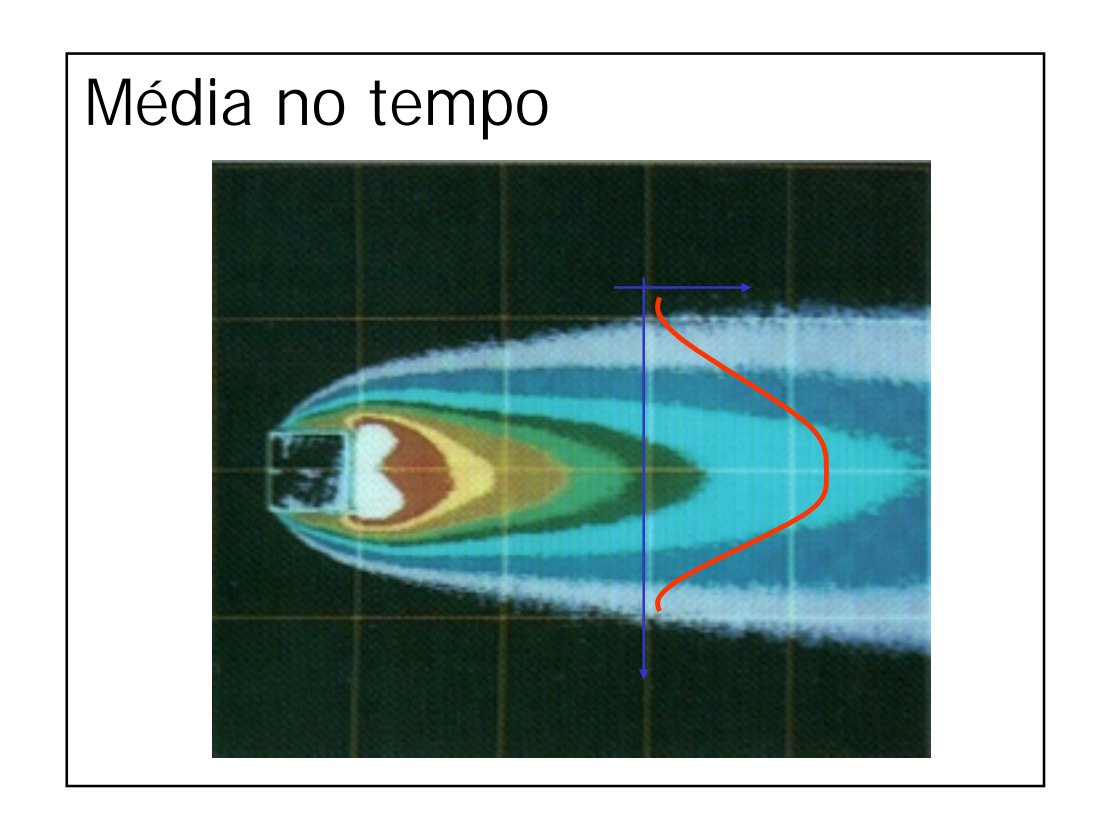
- Popularizaram-se na década de 70.
- Empregados atualmente pela maioria dos órgãos reguladores para estudo de dispersão atmosférica (inclusive a EPA)
- Hipótese de turbulência homogênea e estacionária, fluxo de emissão constante, contaminante quimicamente estável e topografia constante.

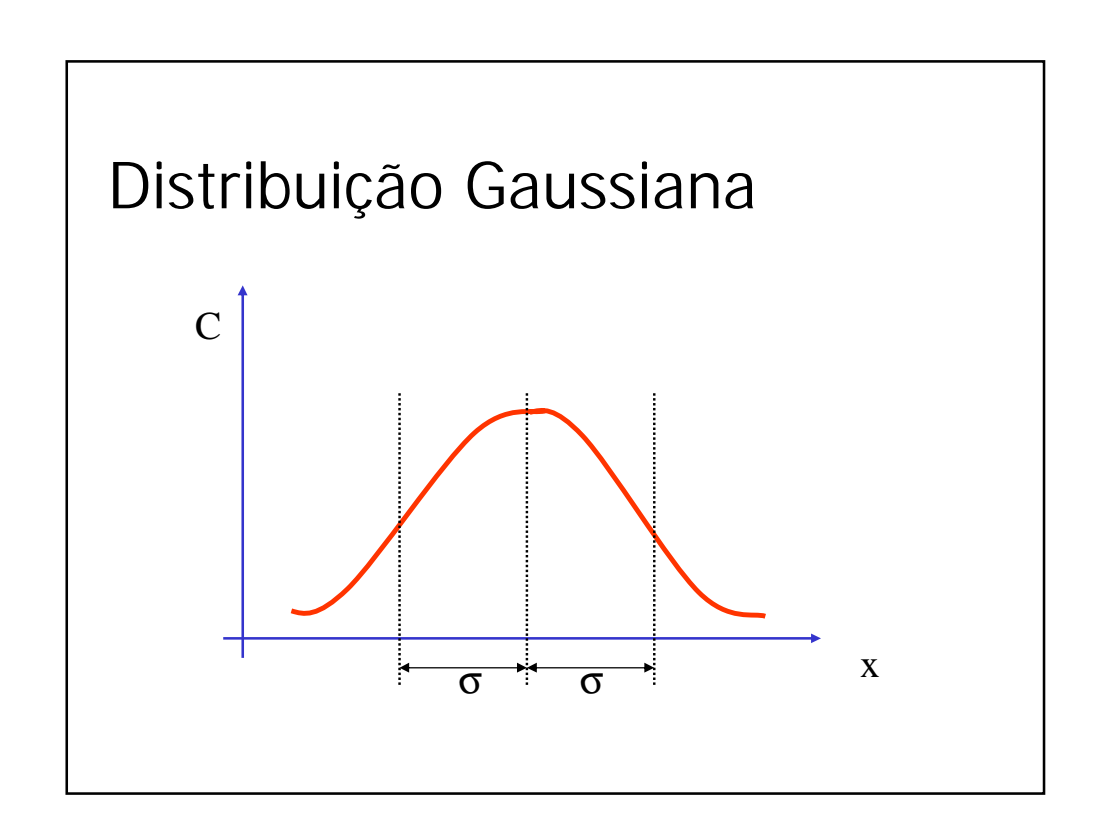


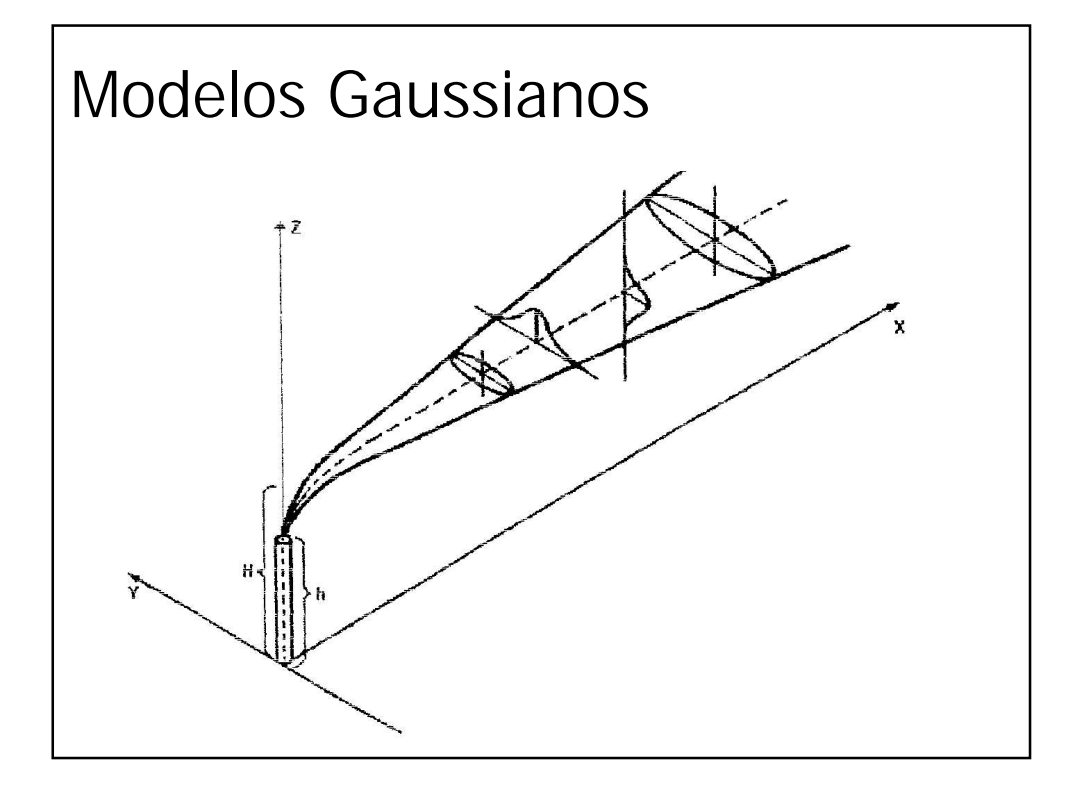










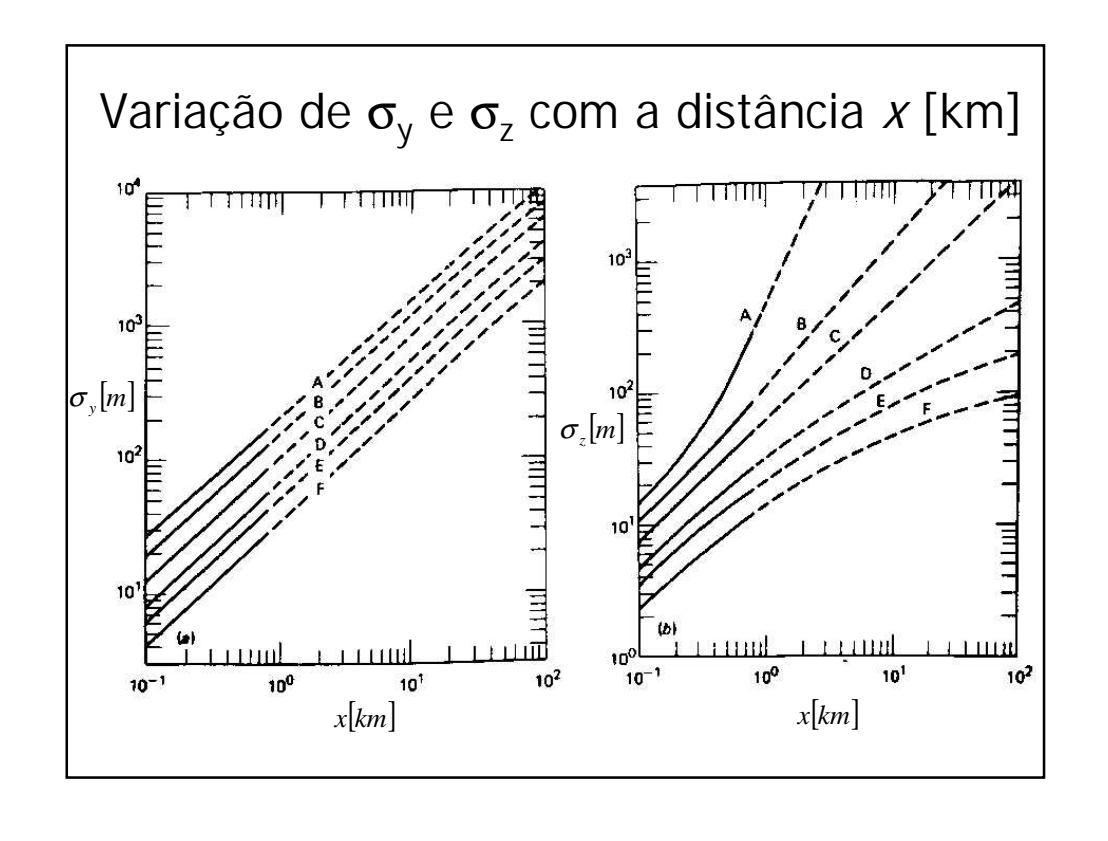


## Formulação

$$C(x, y, z) = \frac{Qs}{2\pi u \sigma_y \sigma_z} \cdot \exp\left(\frac{-y^2}{2\sigma_y^2}\right) \left[\exp\left(-\frac{(z-H)^2}{2\sigma_z^2}\right) + \exp\left(-\frac{(z+H)^2}{2\sigma_z^2}\right)\right]$$

- x, y, z são as coordenadas cartesianas ou espaciais do ponto onde se deseja estimar a concentração do contaminante [m]
- C(x,y,z) é a concentração esperada do contaminante na coordenada (x,y,z) [g/m³]
- Qs é a quantidade de contaminante lançada pela fonte de emissão [g/s]
- H é a altura efetiva de lançamento
- u é a velocidade média do vento na direção do escoamento (x) e medida no topo da chaminé [m/s]
- $\sigma_{y} e \sigma_{z}$  são os desvios médios da distribuição de concentração nas direções y e z [m]

Parâmetros para dispersão em ambientes urbanos (distâncias de 100 a 10000 m) Formulação de Briggs					
Classe de Pasquill	$\sigma_{_{y}}[m]$	$\sigma_z[m]$			
A-B	$0.32x (1 + 0.0004x)^{-0.5}$	$0.24x (1 + 0.001x)^{0.5}$			
С	$0.22x (1 + 0.0004x)^{-0.5}$	0.20x			
D	$0.16x (1 + 0.0004x)^{-0.5}$	$0.14x (1 + 0.0003x)^{-0.5}$			
		$0.08x (1 + 0.0015x)^{-0.5}$			
E-F Parâmetros	0.11x (1 + 0.0004x) <sup>-0.5</sup> para dispersão em ambientes rurais (di Formulação de Briggs	istâncias de 100 a 10000 m)			
Parâmetros  Classe de	para dispersão em ambientes rurais (di	istâncias de 100 a 10000 m)			
Parâmetros  Classe de Pasquill	para dispersão em ambientes rurais (di Formulação de Briggs $oldsymbol{\sigma}_yigl[migr]$	istâncias de 100 a 10000 m) $\sigma_z[m]$			
Parâmetros  Classe de Pasquill  A	para dispersão em ambientes rurais (di Formulação de Briggs $\sigma_y[m]$ $0.22x (1 + 0.0001x)^{-0.5}$	istâncias de 100 a 10000 m) $\sigma_z[m]$			
Parâmetros  Classe de Pasquill  A B	para dispersão em ambientes rurais (di Formulação de Briggs $\sigma_y[m]$ $0.22x (1 + 0.0001x)^{-0.5}$ $0.16x (1 + 0.0001x)^{-0.5}$	istâncias de 100 a 10000 m) $\sigma_z[m]$ 0.20 x 0.12 x			
Parâmetros  Classe de Pasquill  A B C	para dispersão em ambientes rurais (di Formulação de Briggs $\sigma_y[m]$ $0.22x (1 + 0.0001x)^{-0.5}$ $0.16x (1 + 0.0001x)^{-0.5}$ $0.11x (1 + 0.0001x)^{-0.5}$	istâncias de 100 a 10000 m) $\sigma_z[m]$ 0.20 x 0.12 x 0.08 x (1 + 0.0002 $x$ ) $^{-0.5}$			
Parâmetros  Classe de Pasquill  A B	para dispersão em ambientes rurais (di Formulação de Briggs $\sigma_y[m]$ $0.22x (1 + 0.0001x)^{-0.5}$ $0.16x (1 + 0.0001x)^{-0.5}$	istâncias de 100 a 10000 m) $\sigma_z[m]$ 0.20 x 0.12 x			



## Classes de estabilidade de Pasquill

	Radiação solar (I)			Cobertura noturna	
Velocidade do vento a	$(\mathrm{W}/\mathrm{m}^2)$			de nuvens (cn)	
10 m do solo (m/s)	I>700	350≤ I ≤700	I<350	cn ≥ 4/8	cn ≤3/8
< 2	A	A - B	В		
2 - 3	A - B	В	C	E	F
3 – 5	В	$\mathbf{B}-\mathbf{C}$	C	D	E
5 – 6	C	C - D	D	D	D
> 6	C	D	D	D	D
Onde:	A: extremamente instável		D: neutra		
	B: moderadam	ente instável	E: fracamente e	stável	
	C: fracamente	instável	F: moderadame	nte estável	

#### Velocidade do vento na altura do topo da chaminé

$$u = u_0 \cdot \left(\frac{h}{h_0}\right)^e$$

h - altura da chaminé [m]

 $h_{\rm 0}$  -altura de medição da velocidade do vento (usualmente 10m)  $[{\rm m}]$ 

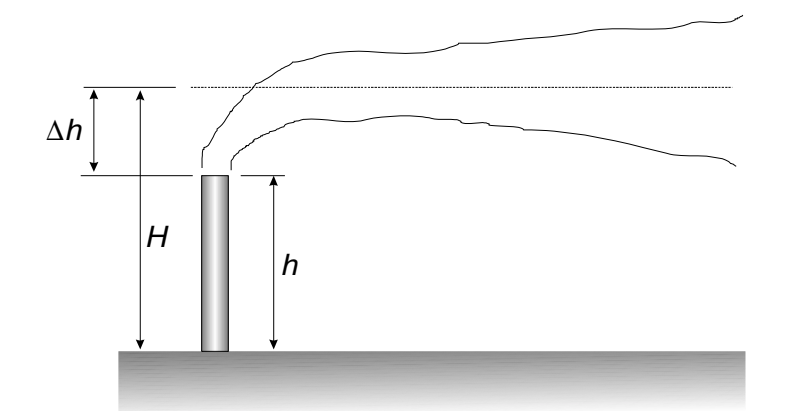
 $\it e$  - expoente empírico cujo valor depende a estabilidade atmosférica (tabela abaixo)

 $u_0$  - velocidade média do vento medida na altura  $h_0[\mathrm{m/s}]$ 

u - velocidade média do vento no topo da chaminé [m/s]

Classe de Estabilidade	Constante empírica, e
A	0,10
В	0,15
C	0,20
D	0,25
Е	0,30
F	0,35

## Altura efetiva de lançamento



$$H = h + \Delta h$$

#### Altura efetiva de lançamento

$$\Delta h = d \cdot \left( \frac{V_s}{\overline{u}} \right)^{1.4} \cdot \left[ 1 + \left( \frac{Ts - Tar}{Ts} \right) \right]$$

 $\Delta h$  - variação da altura de lançamento, baseada na quantidade de movimento da emissão e do empuxo térmico [m]

d - diâmetro da chaminé [m]

 $\emph{Vs}$  - velocidade de saída dos gases no topo da chaminé [m/s]

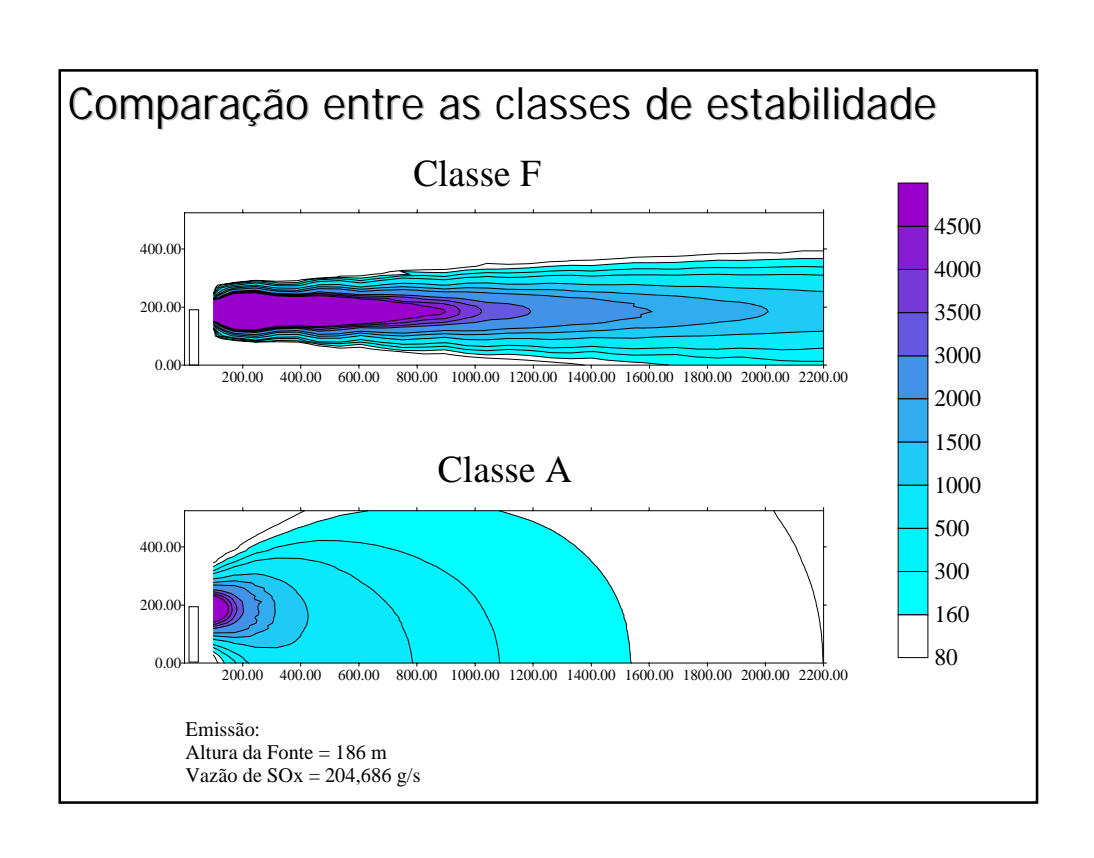
u - velocidade média do vento na direção do escoamento(x) e medida no topo da chaminé [m/s]

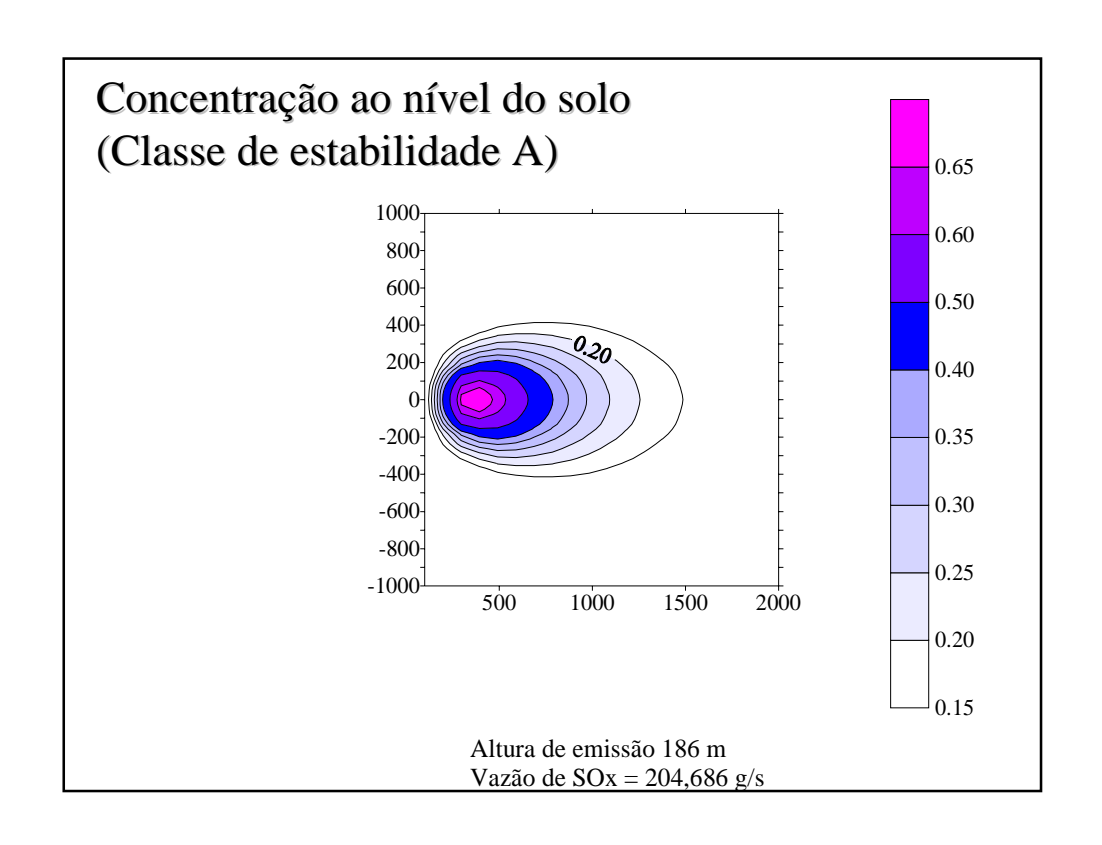
Ts - temperatura dos gases na saída da chaminé [K]

Tar - temperatura do ar atmosférico nas imediações da chaminé [K]

## Algoritmo para o uso do modelo Gaussiano

- 1 Determinar as coordenadas cartesianas do ponto onde se deseje descobrir a concentração do contaminante
- 2 Verificar qual a classe de estabilidade atmosférica, baseando-se nas condições meteorológicas
- 3 Calcular a velocidade do vento na altura do topo da chaminé
- 4 Calcular a altura efetiva de lançamento
- 6 Calcular a concentração de contaminante no ponto de interesse

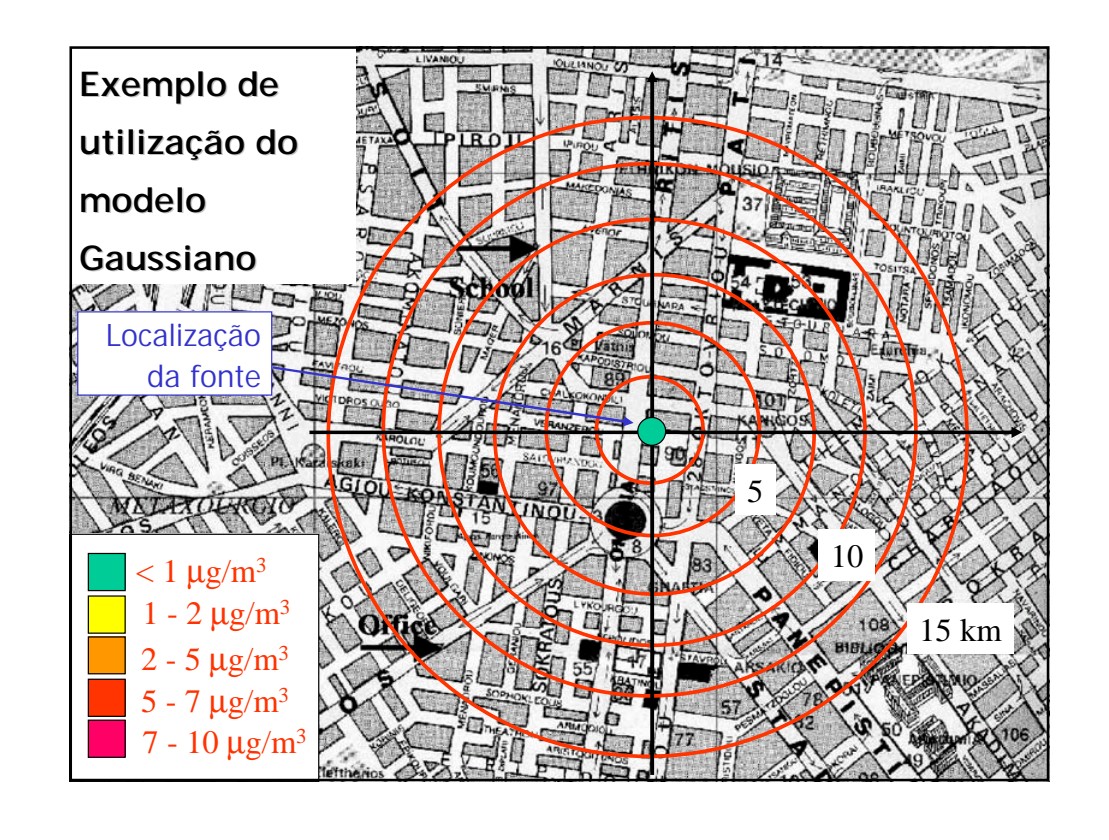


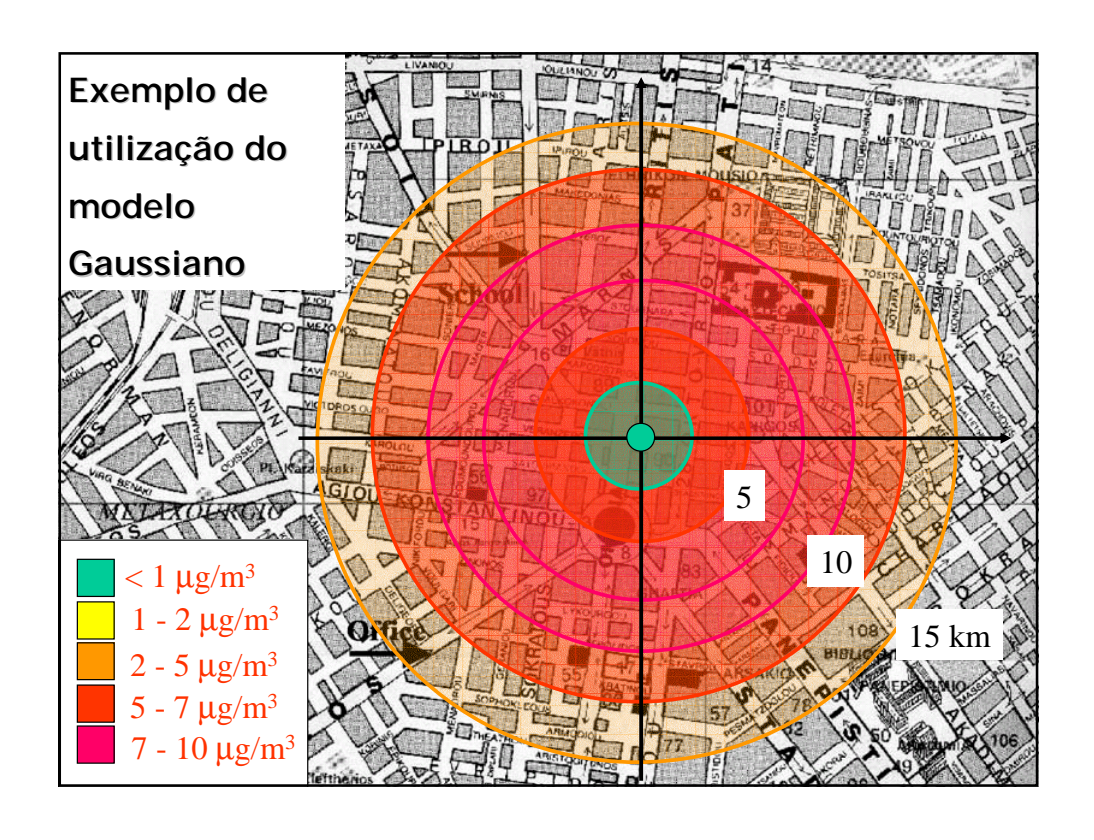


Exemplo de utilização do modelo Gaussiano

Planilha Excel





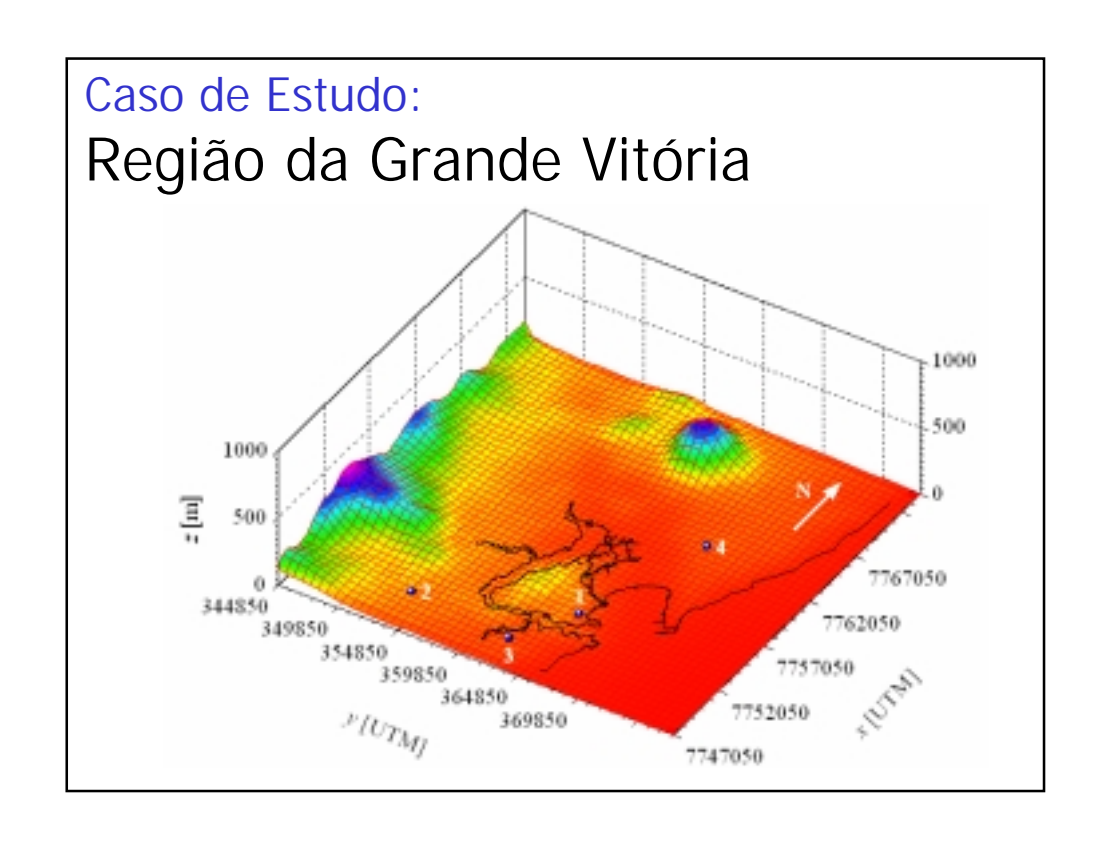


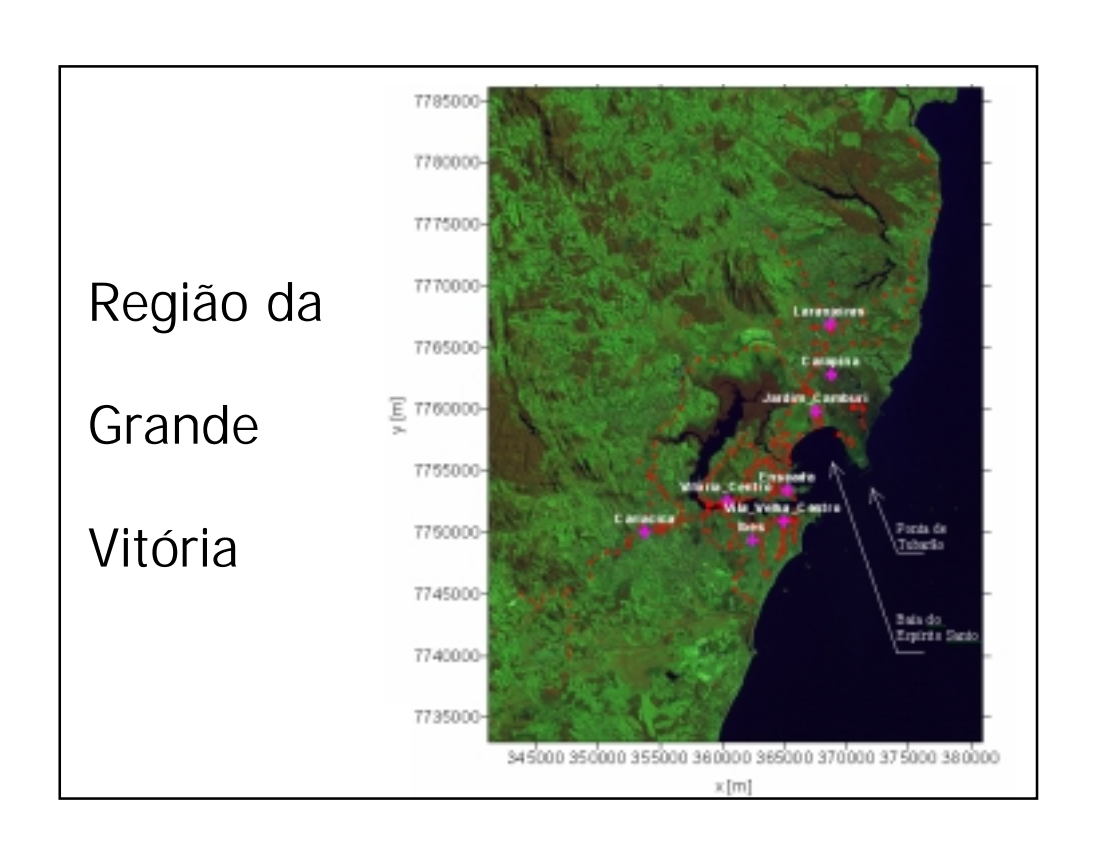
## Limitações do modelo Gaussiano

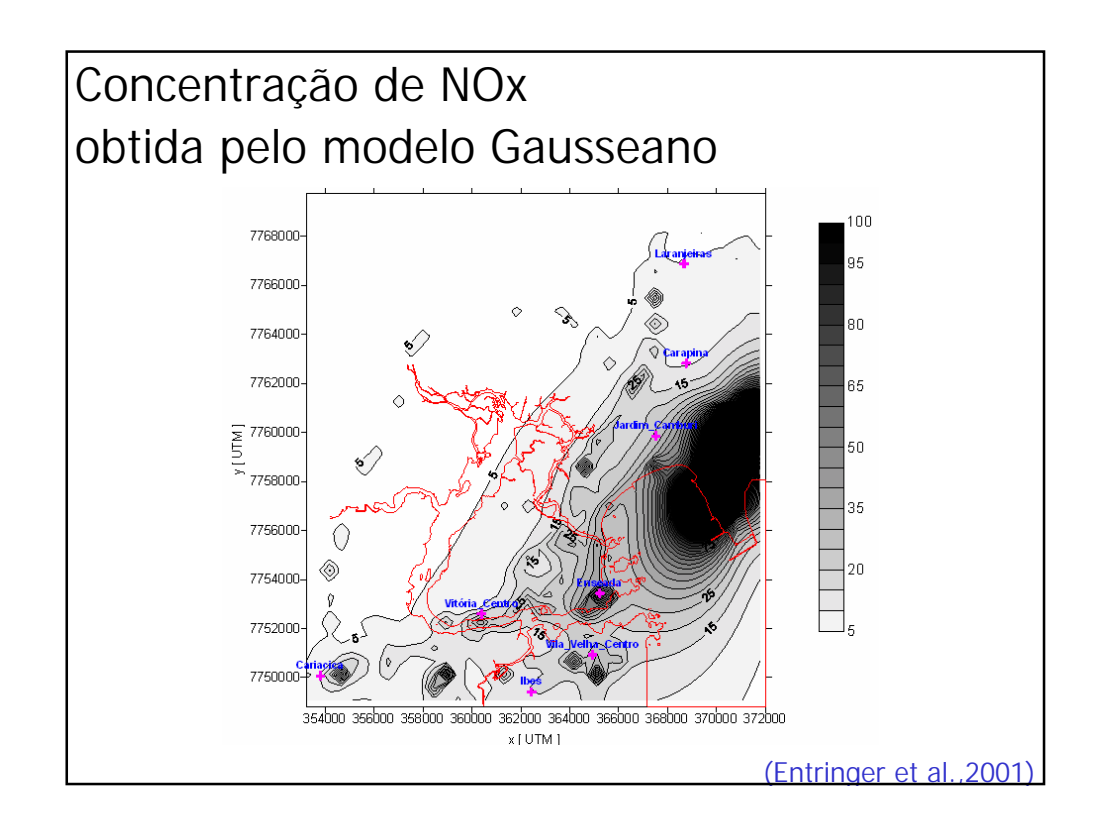
- Não incorpora efeitos da mudança de direção e intensidade do vento
- Baseia sem parâmetros empíricos que podem variar bastante conforme as características da região (por exemplo: topografia, rugosidade, proximidade do mar, etc)
- Considera a taxa de emissão de contaminante e a direção do vento constantes com o tempo.

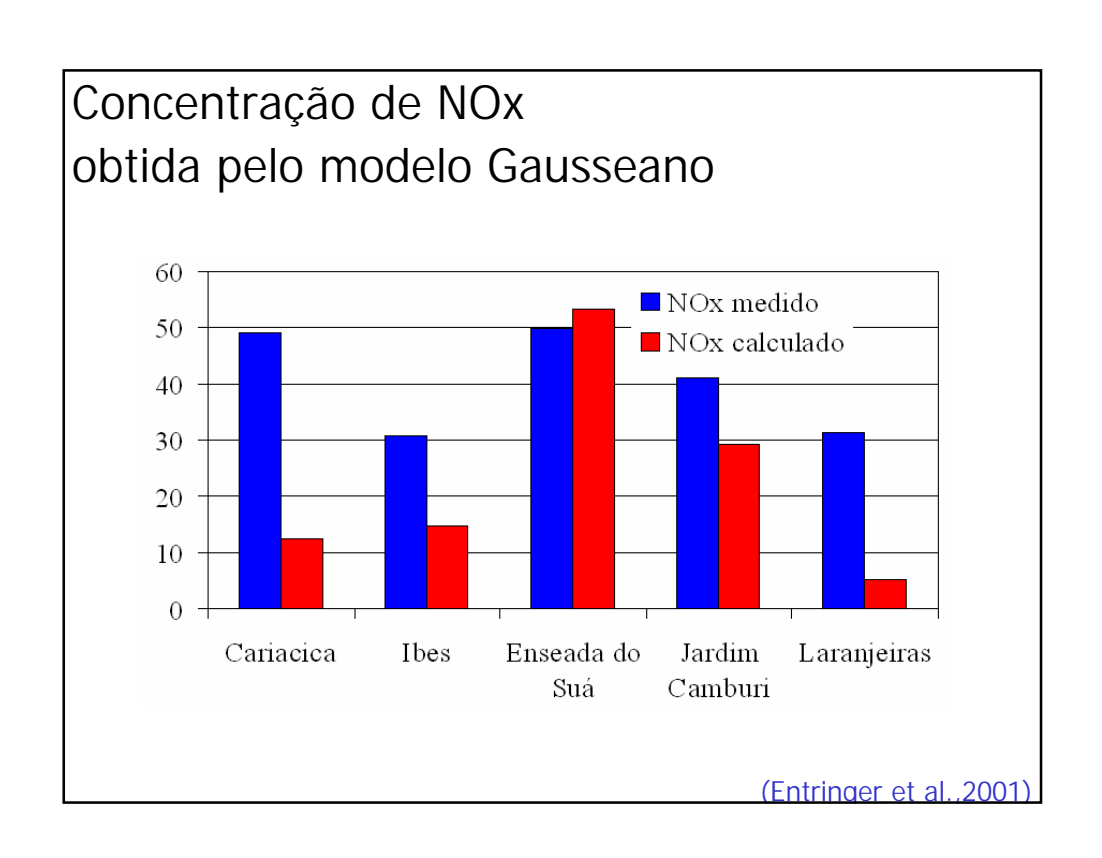
#### Limitações do modelo ussiano Suprir estas deficiencias. Por Não incorpora reção e variar basta Mitos trabatros cientos variar basta Mitos cido realizado região proxim estudos em regiões de, relevo moderadamente podem • Baseia se as da dade.

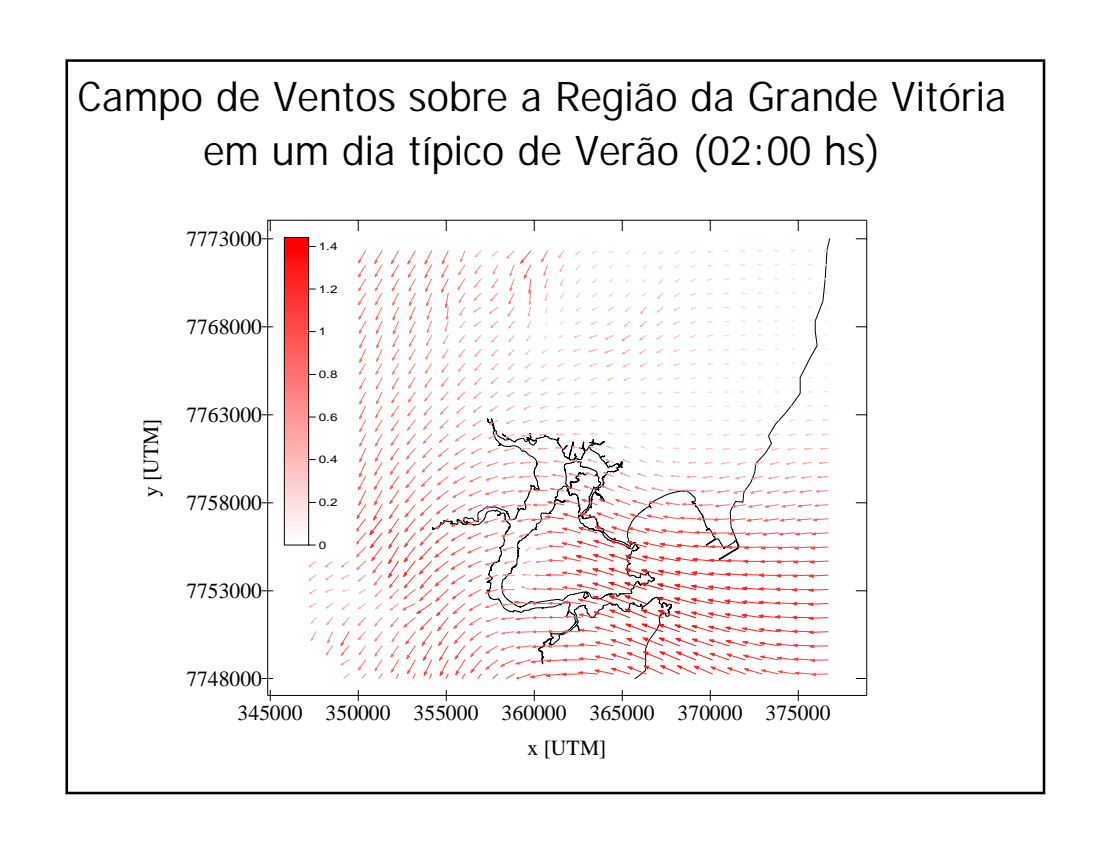
 Consider de contaminante e a direção do nstantes com o tempo.

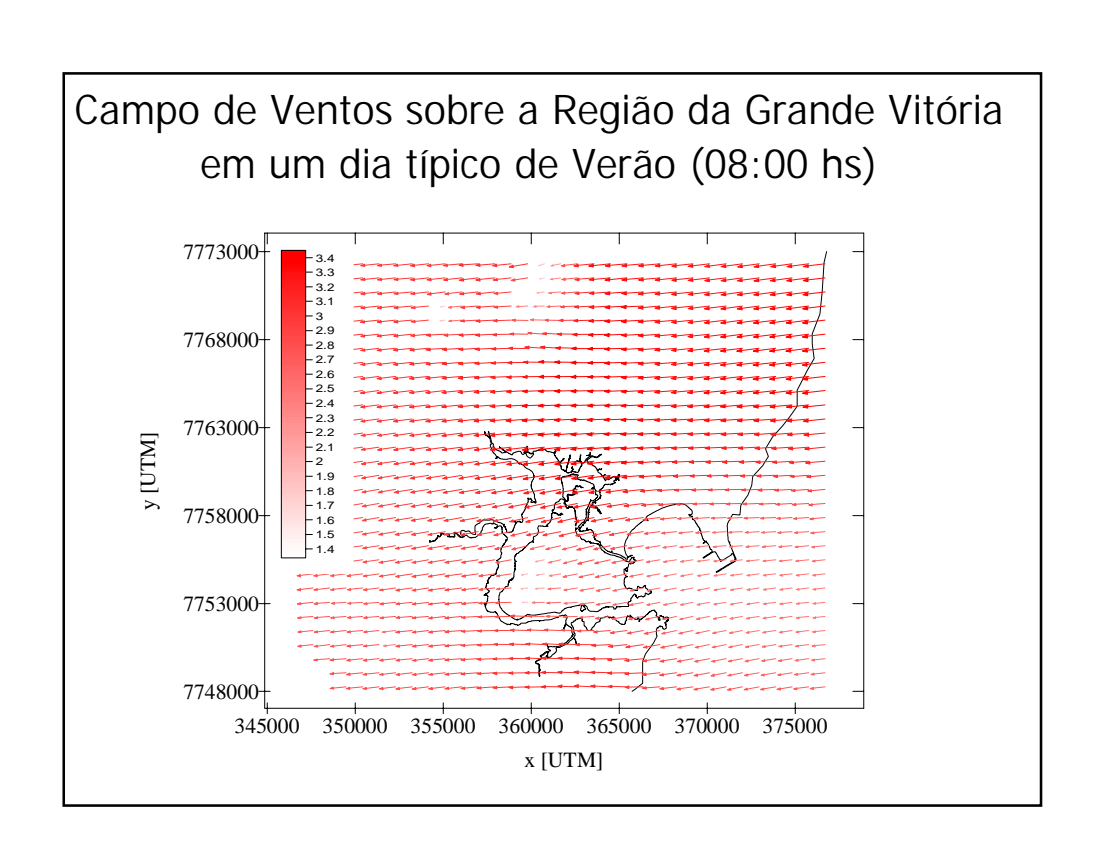


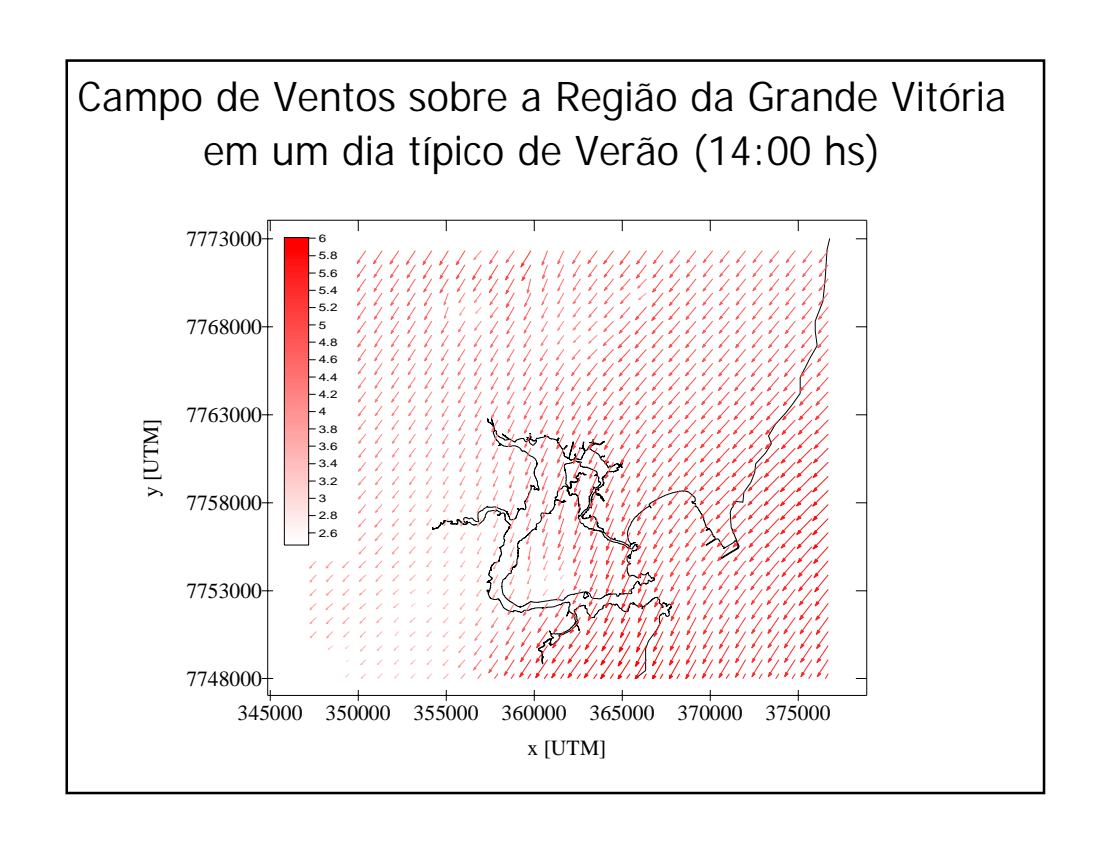


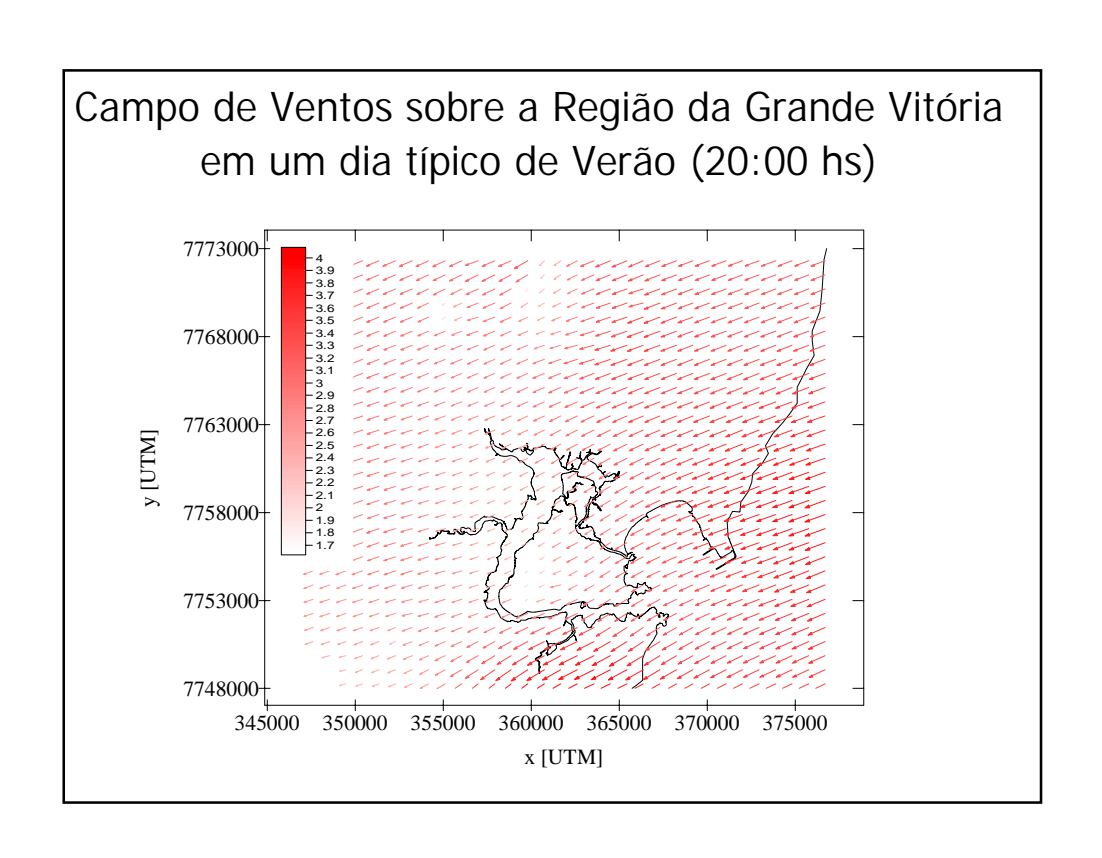


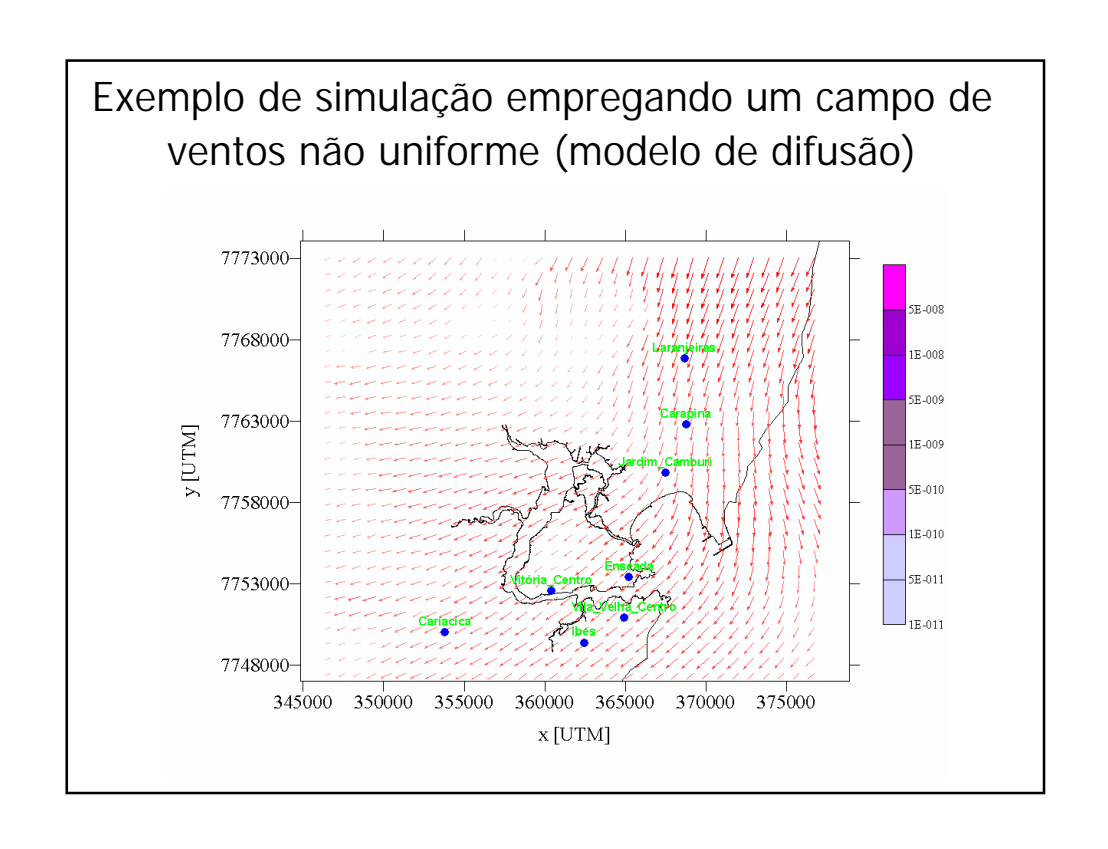


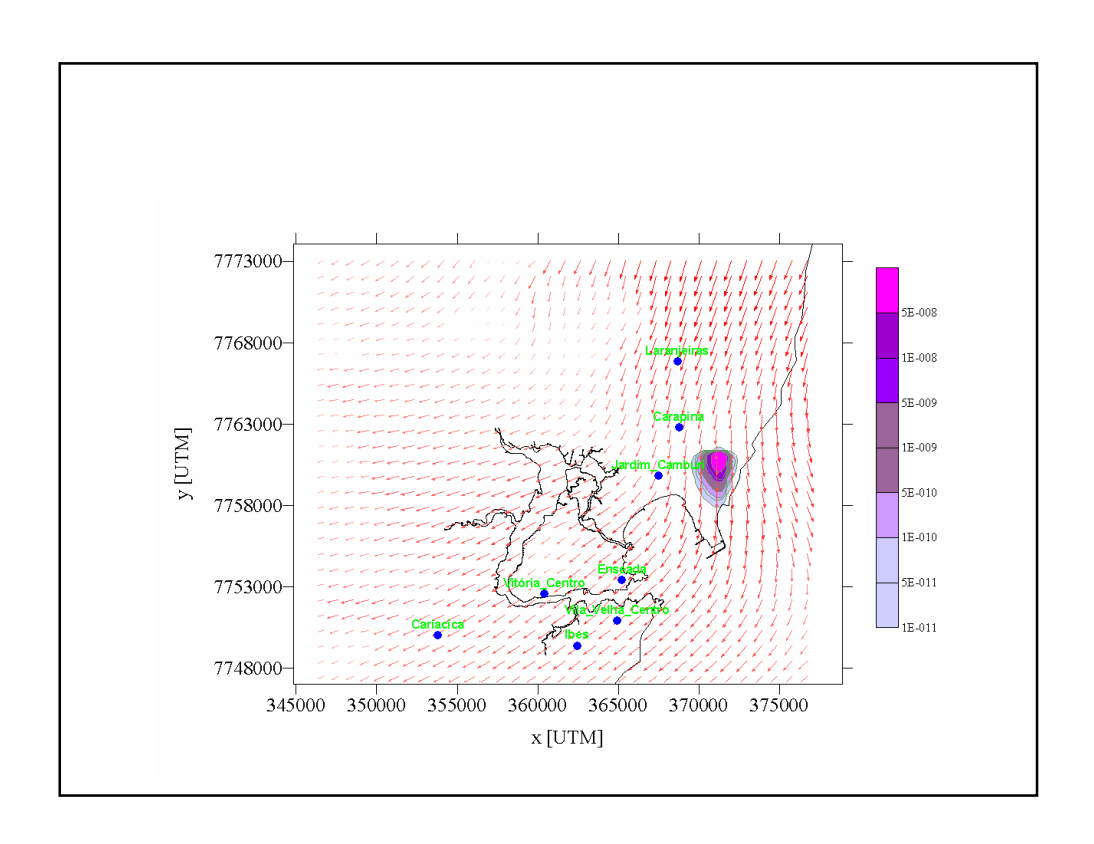


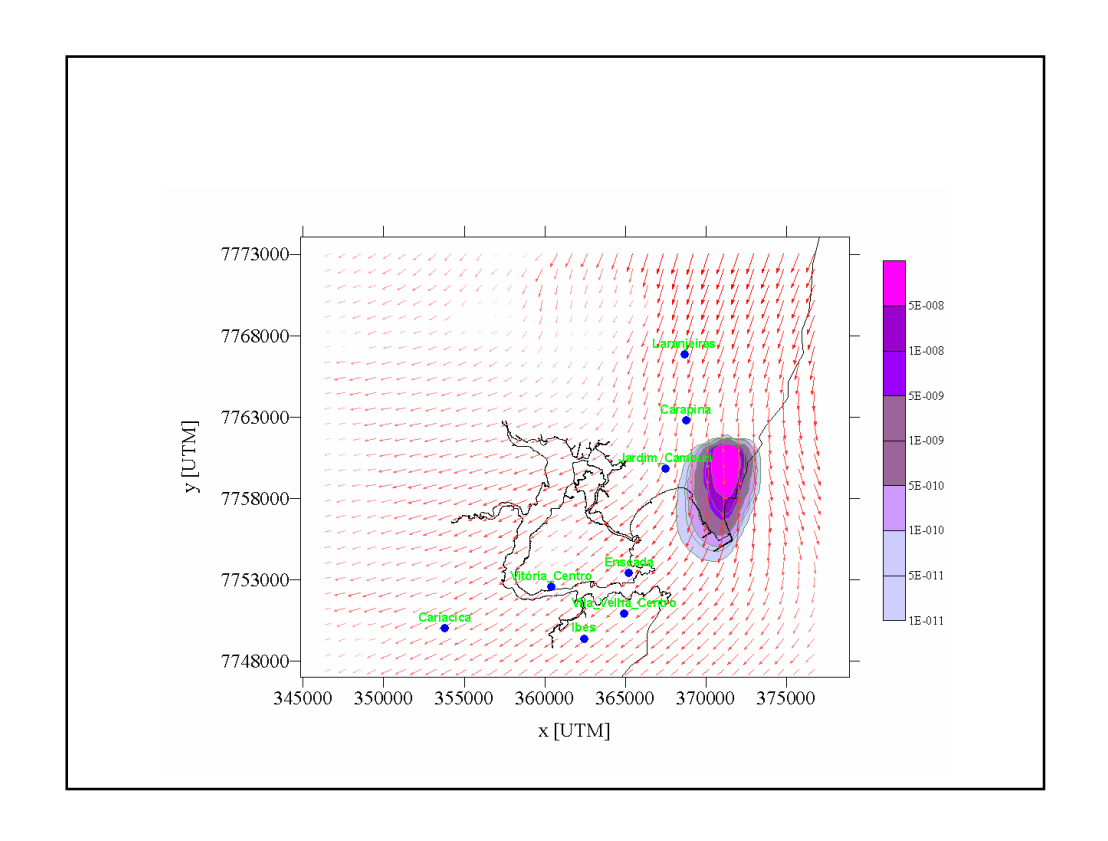


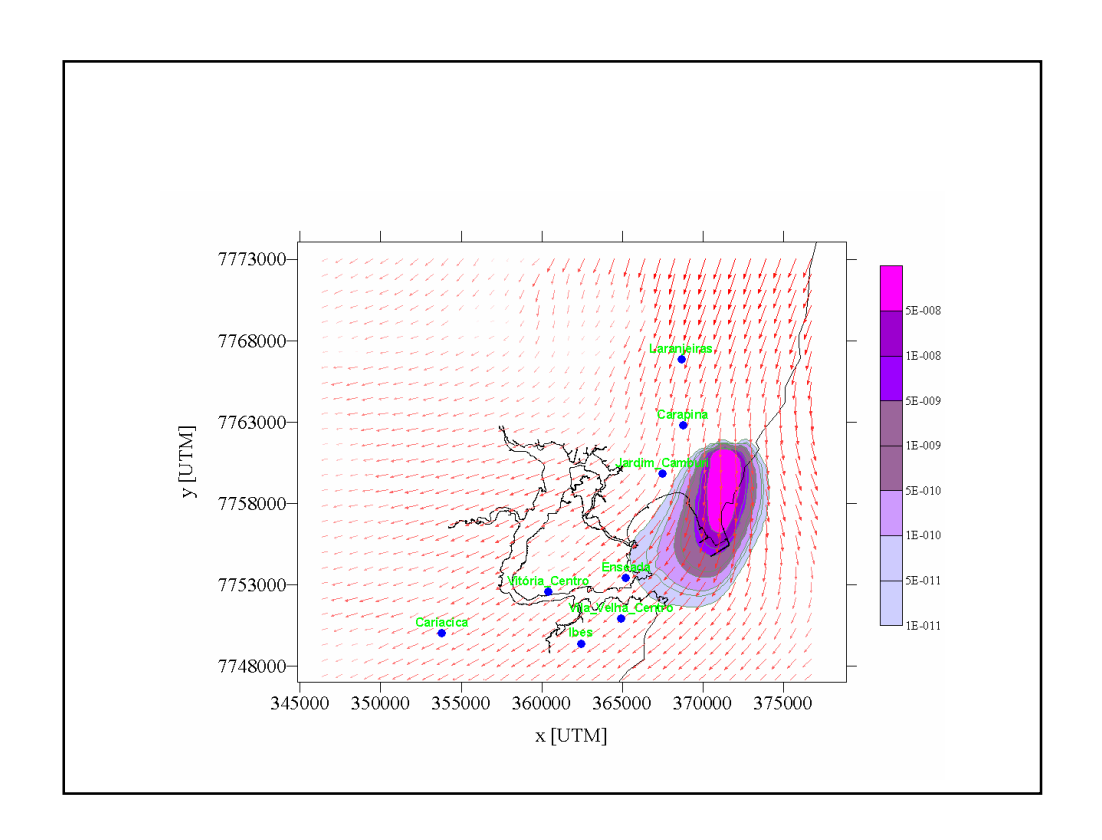


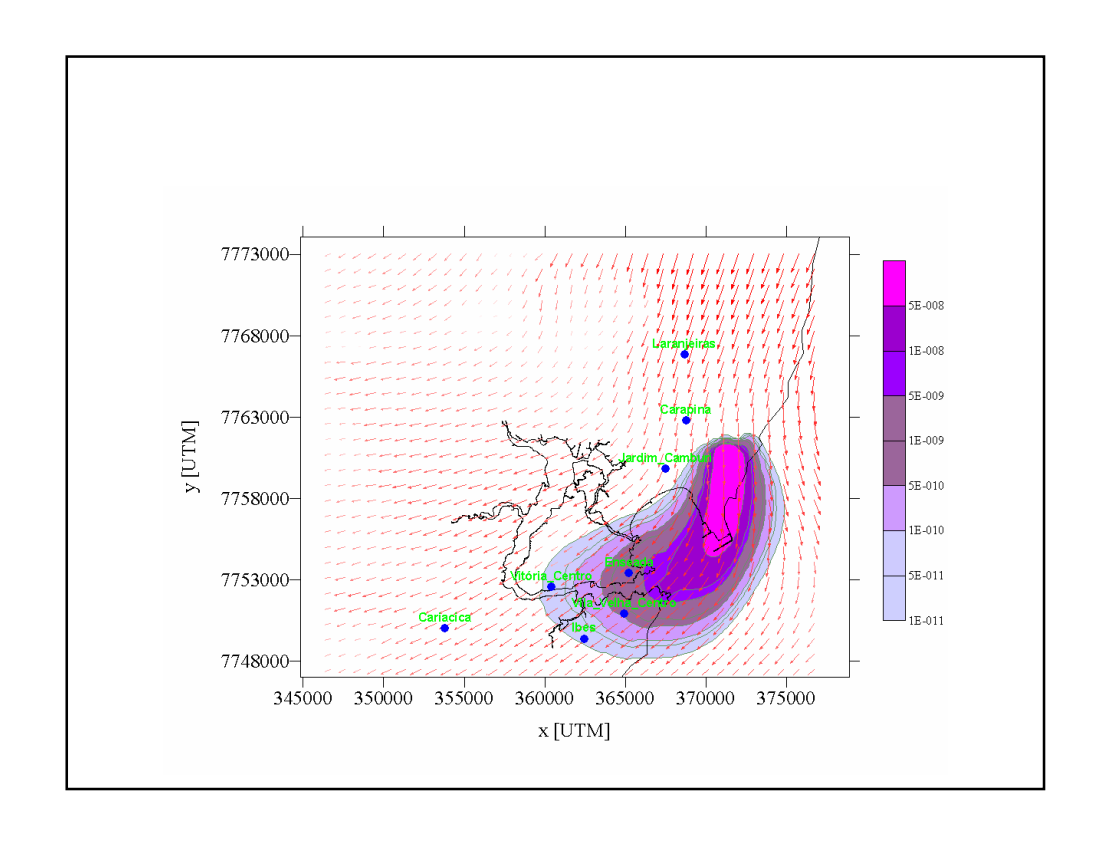


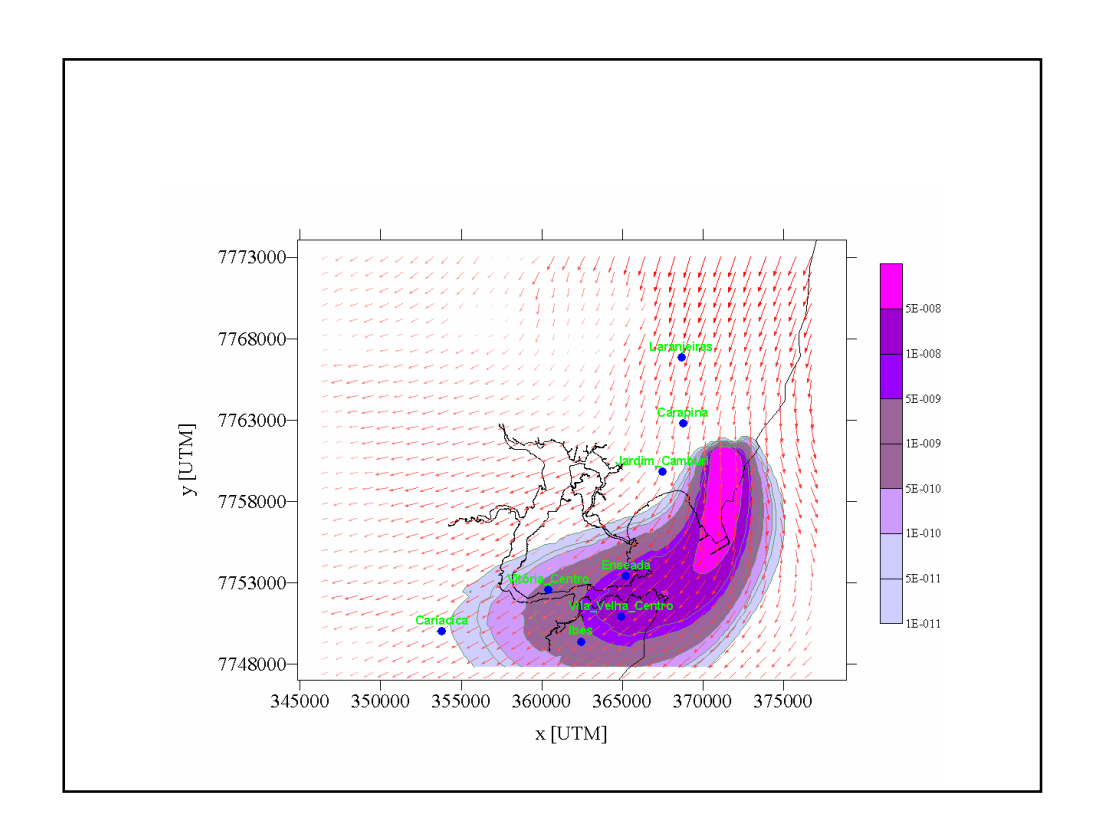


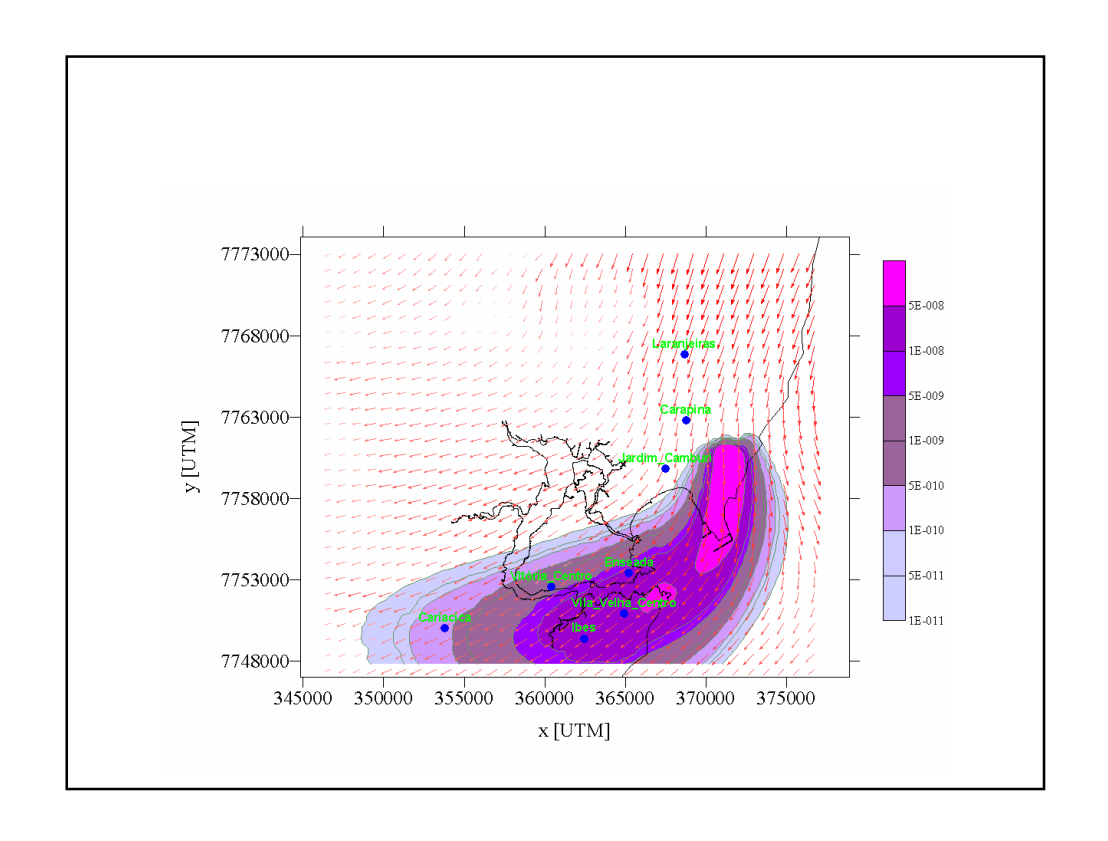


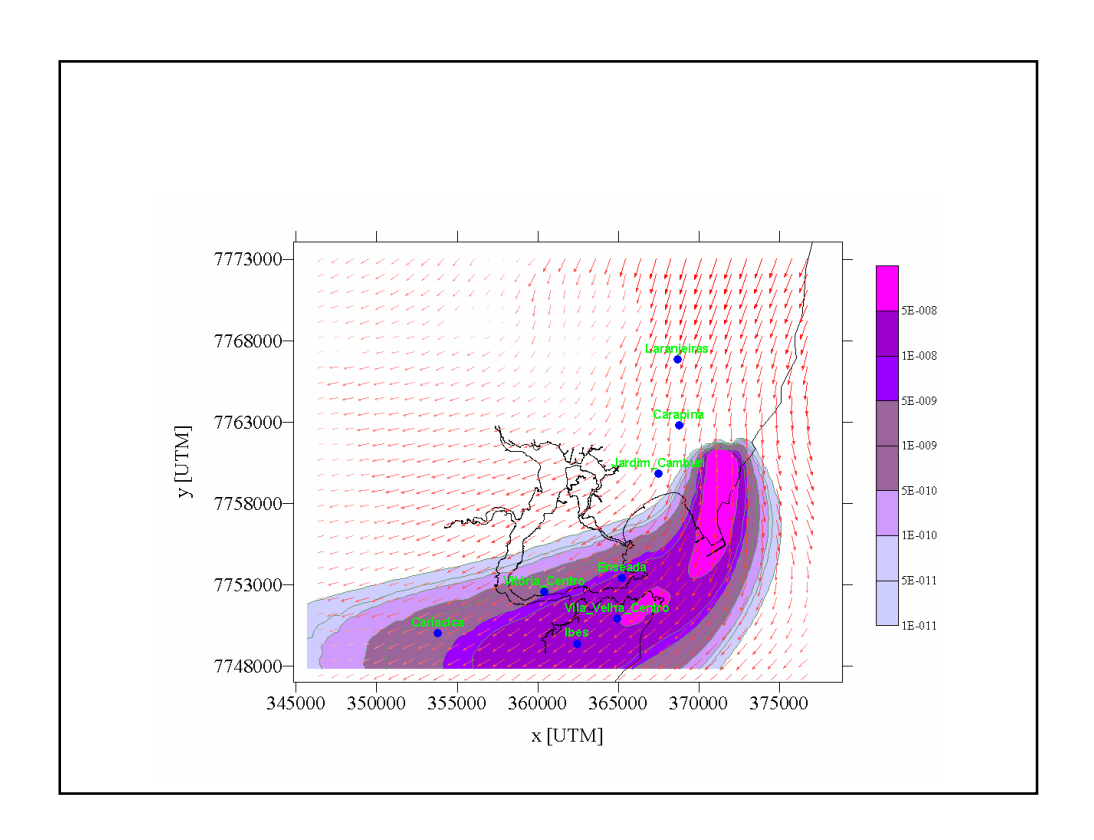


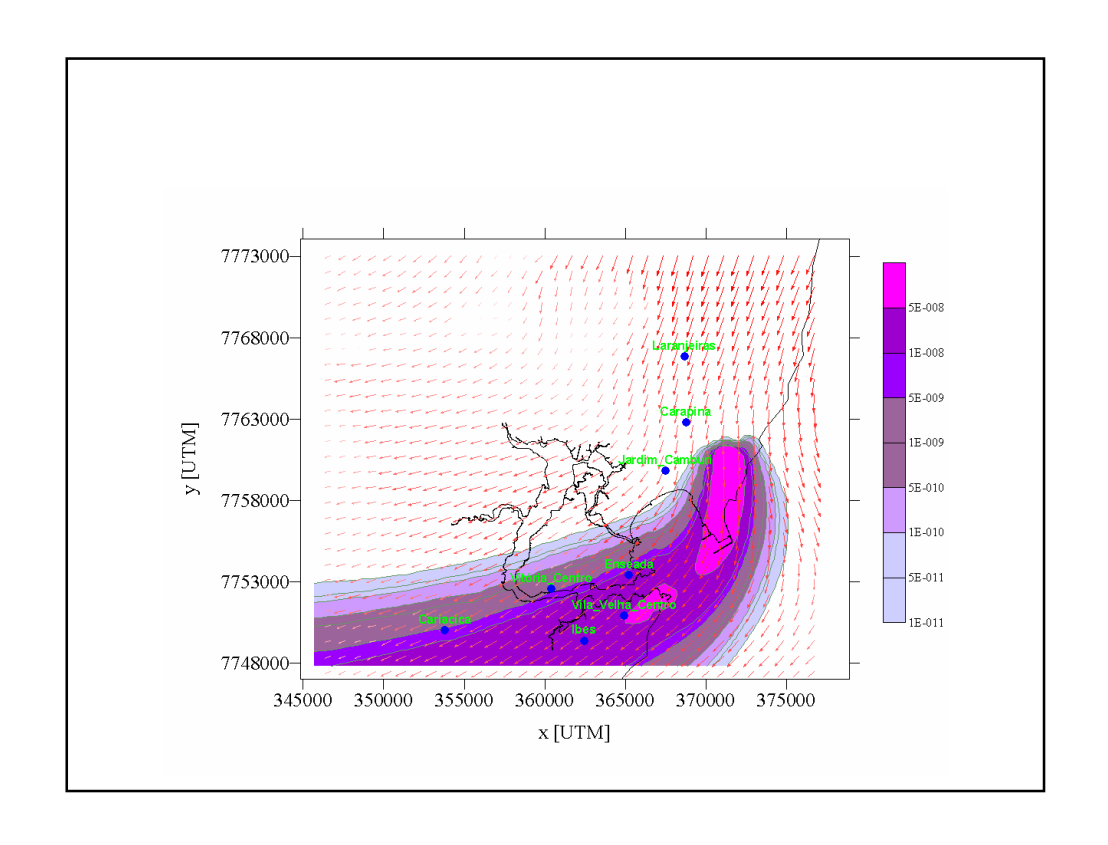


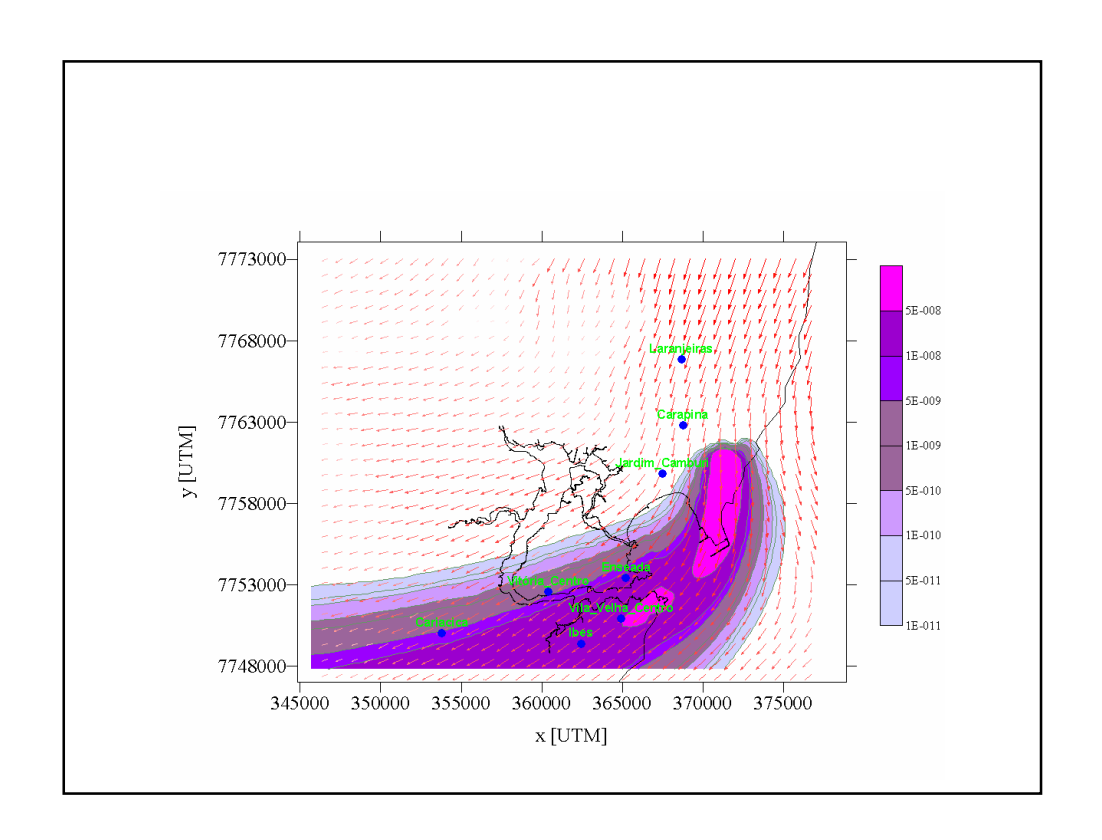


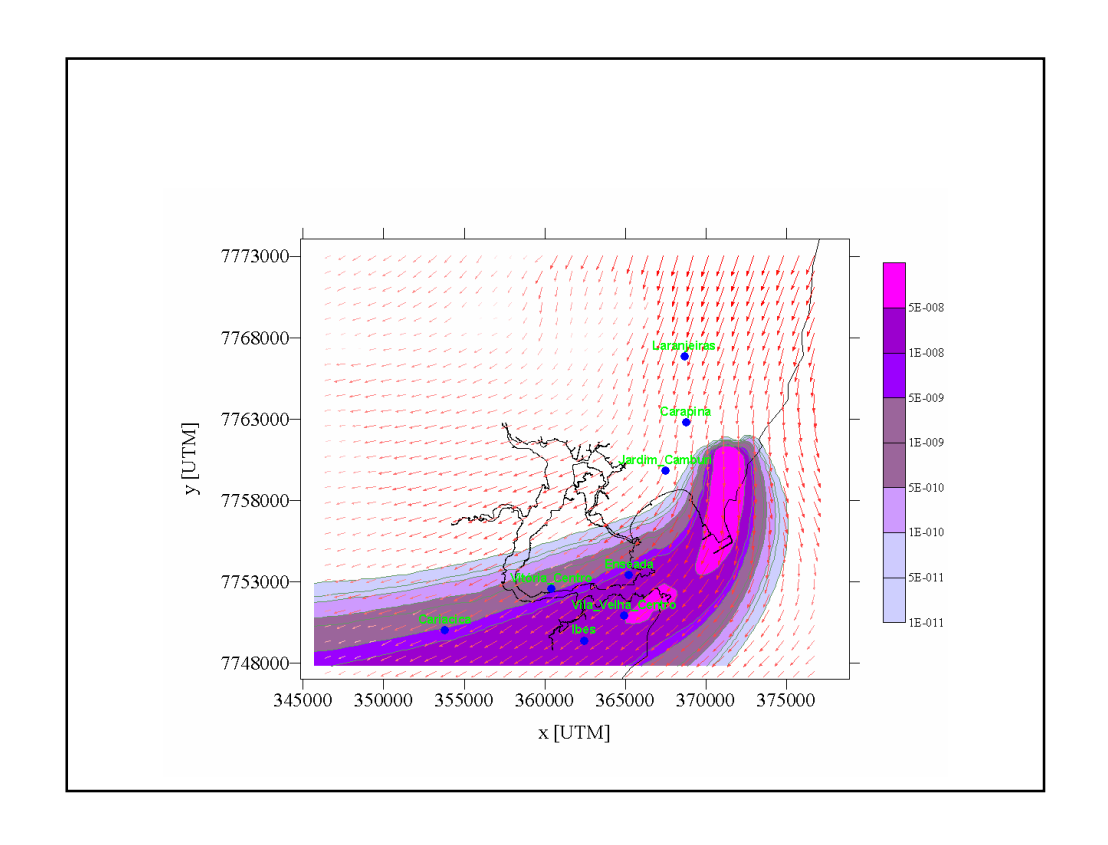


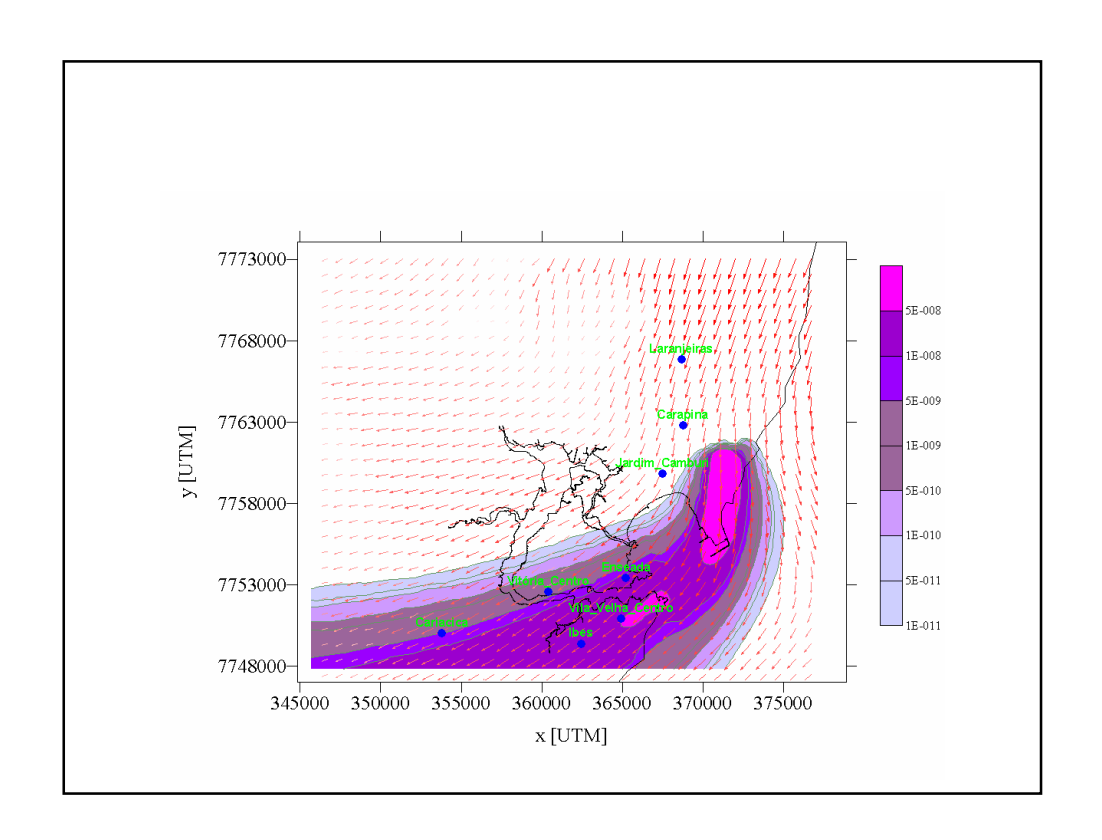


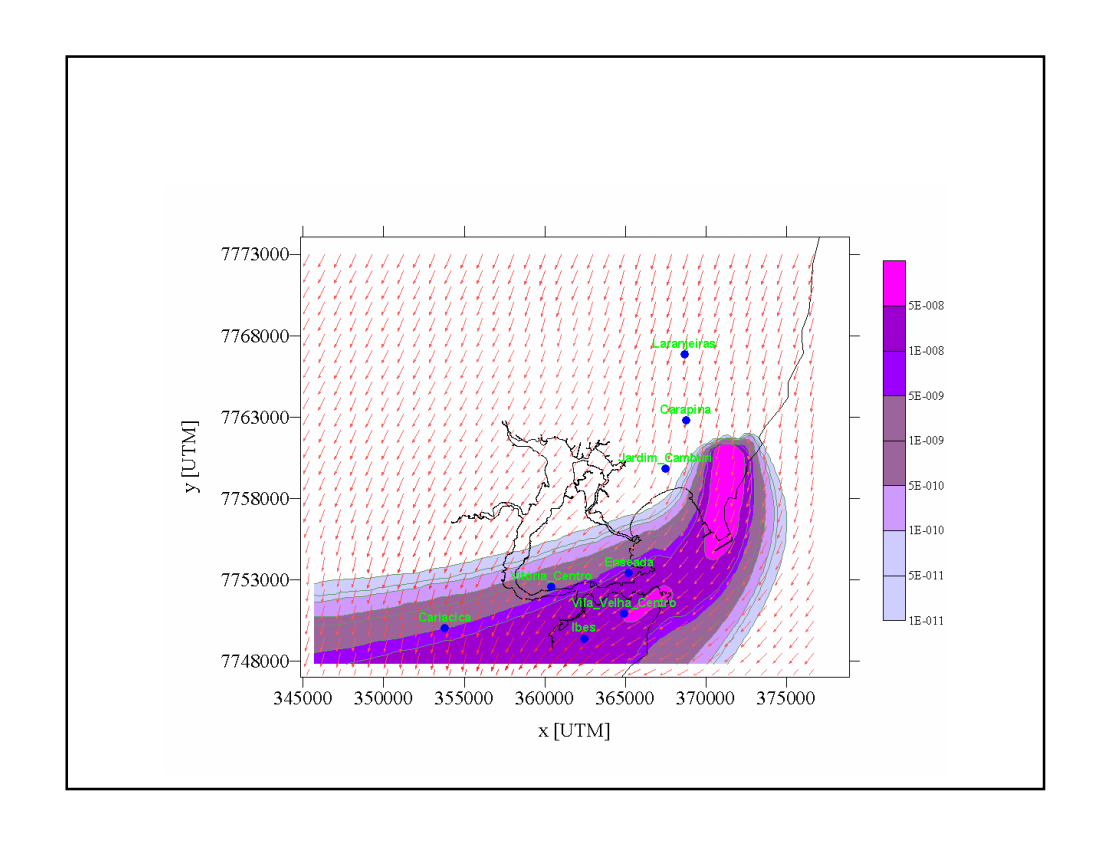


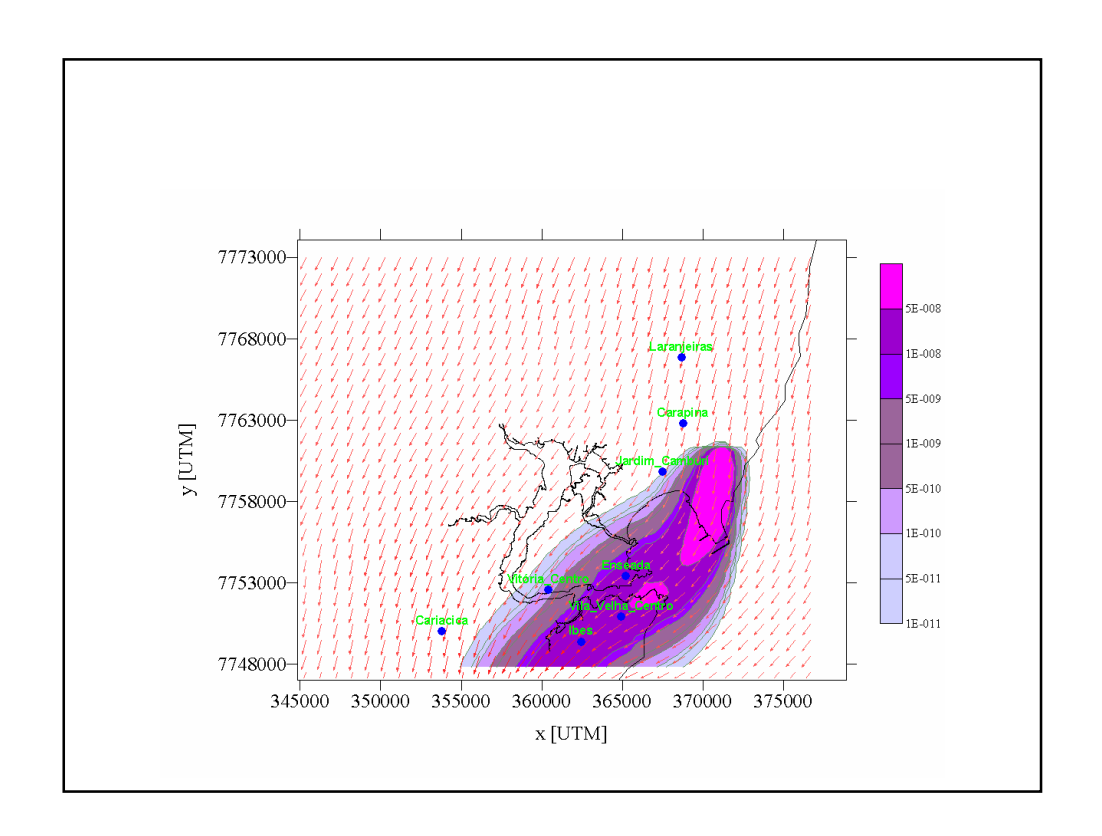


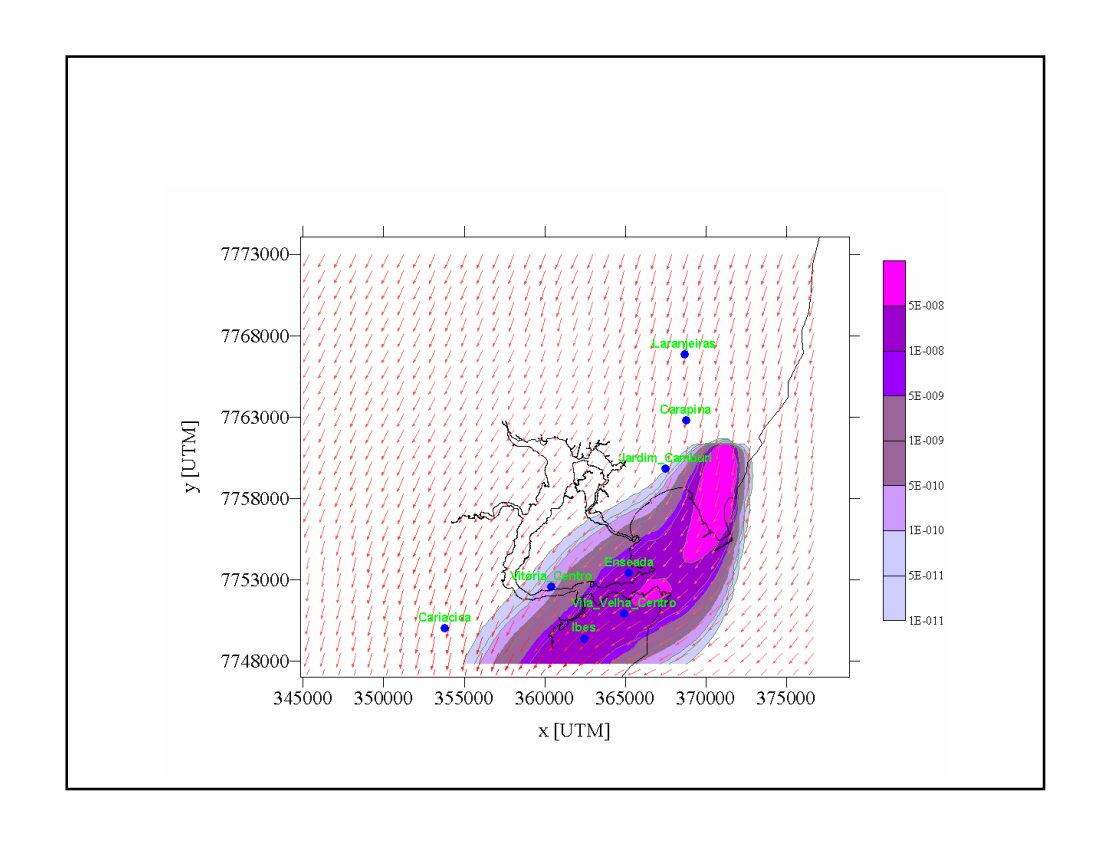










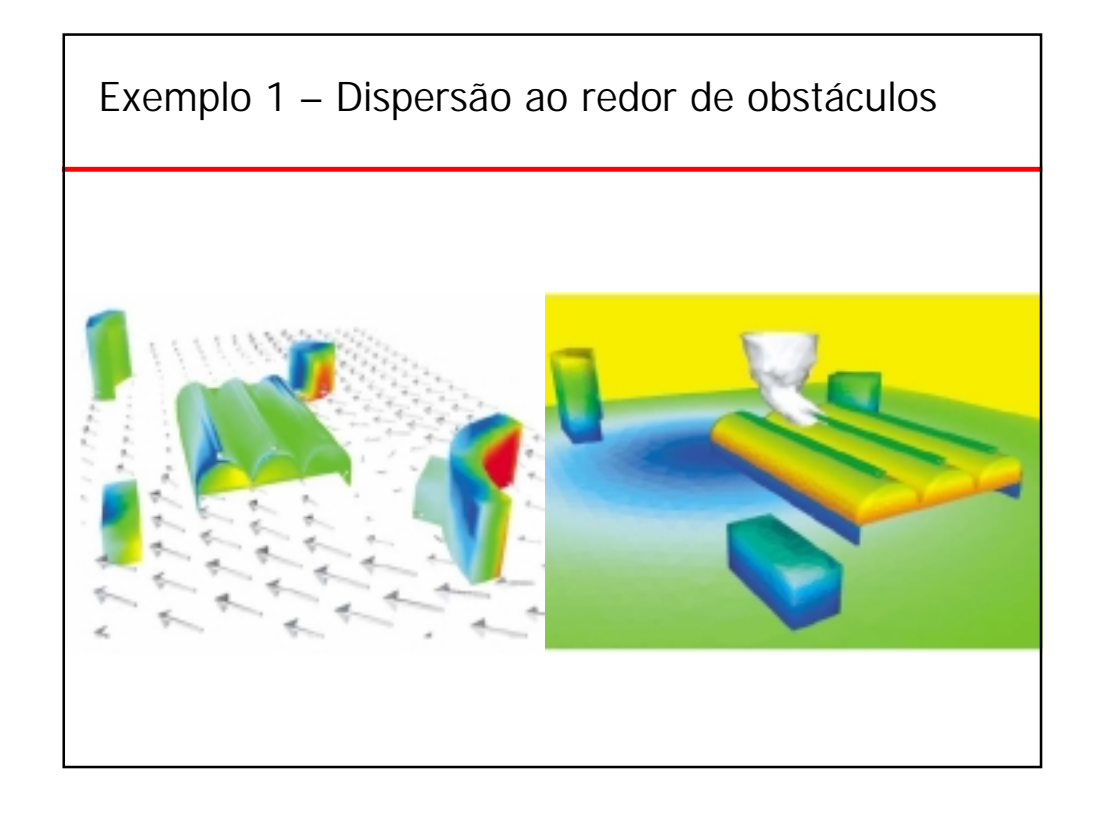


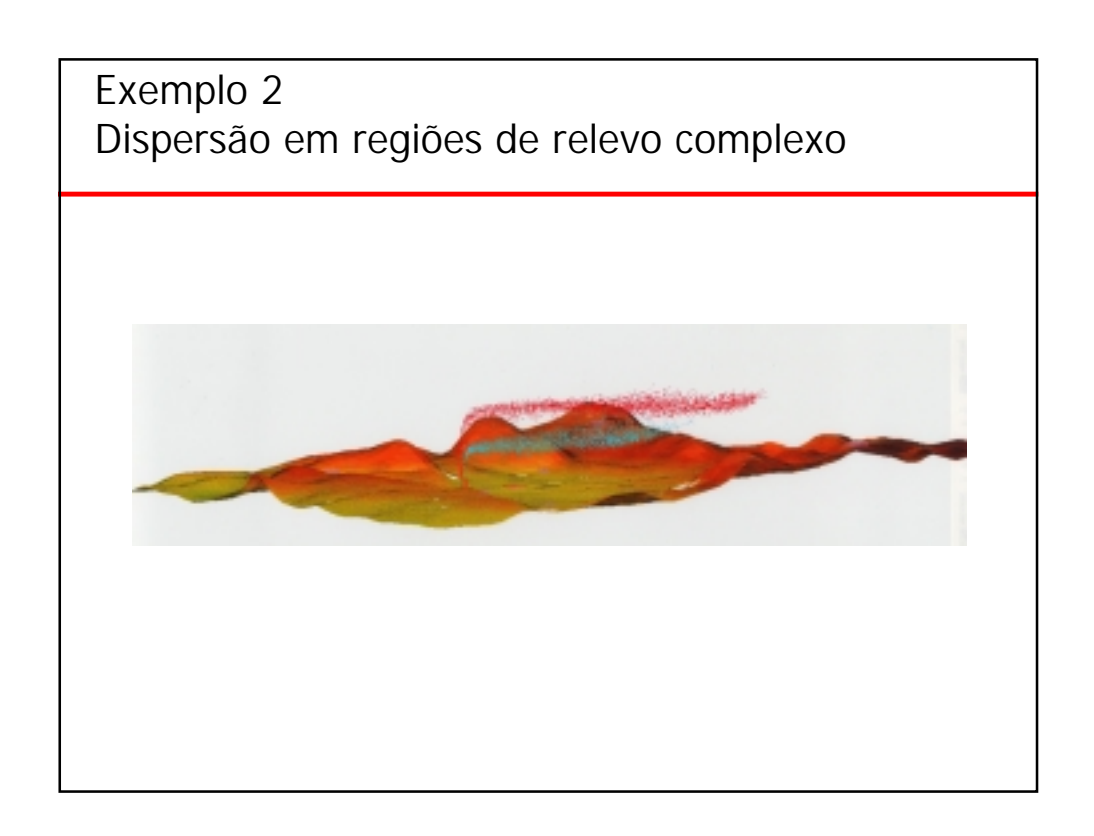
## MODELOS DE DIFUSÃO

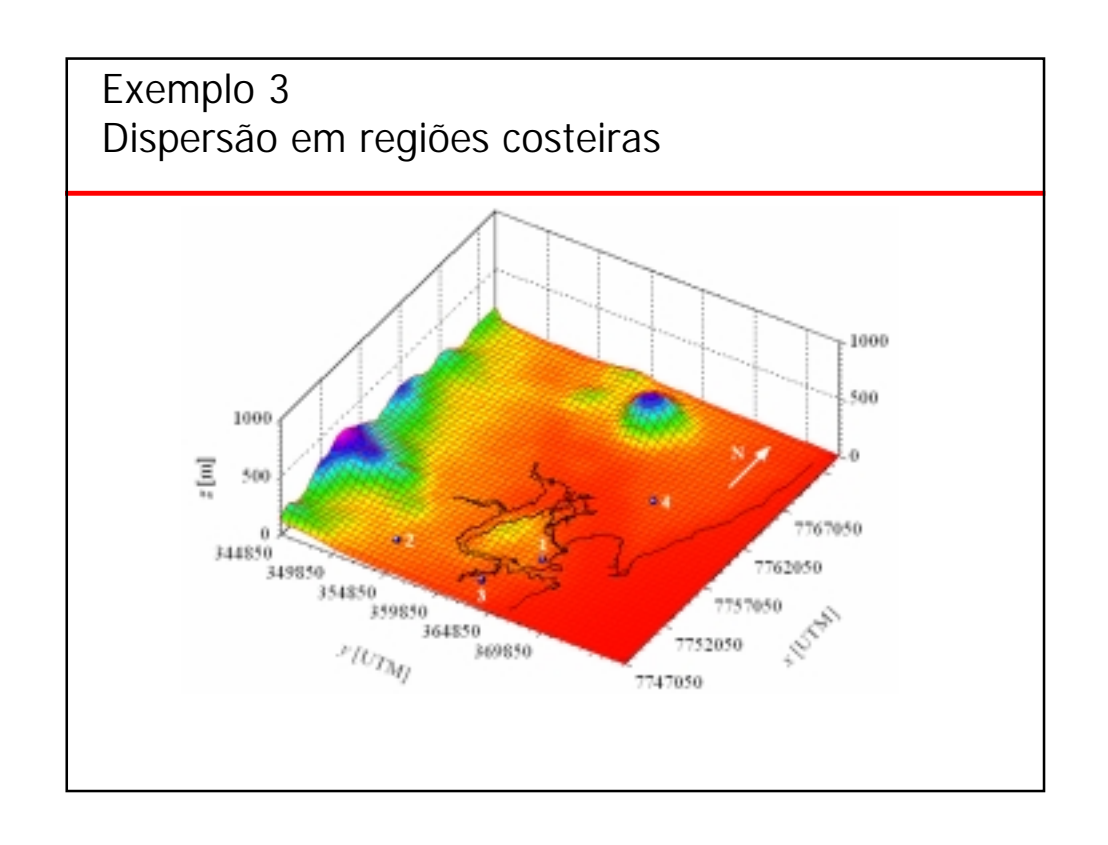
#### Modelos de Difusão

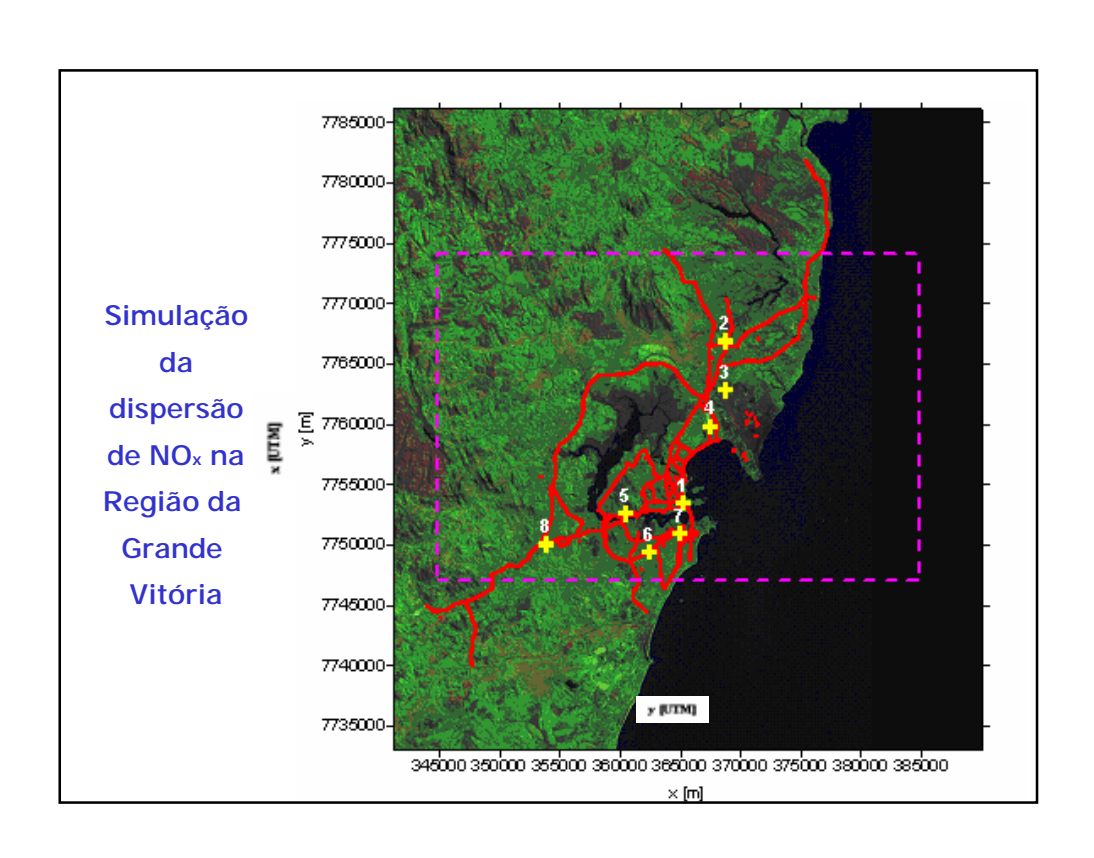
- Situações de relevo ou geometria complexo
- Variação das condições meteorológicas com o tempo

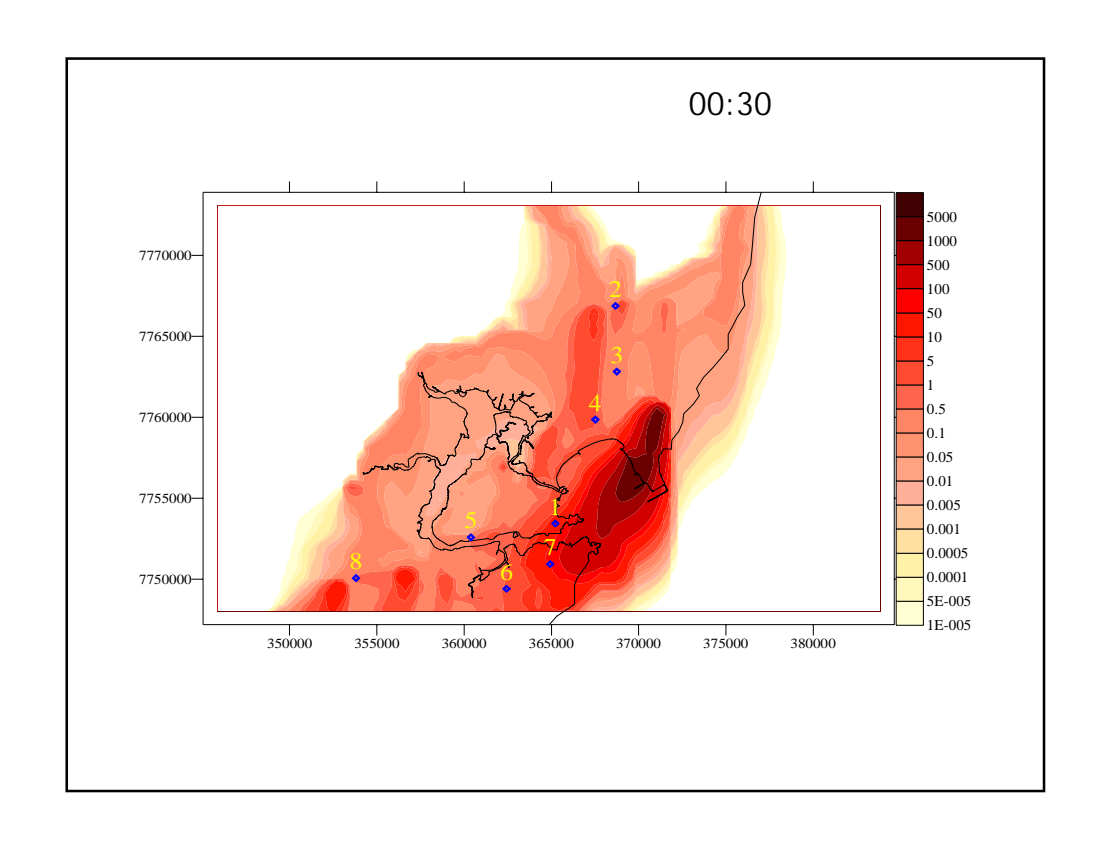


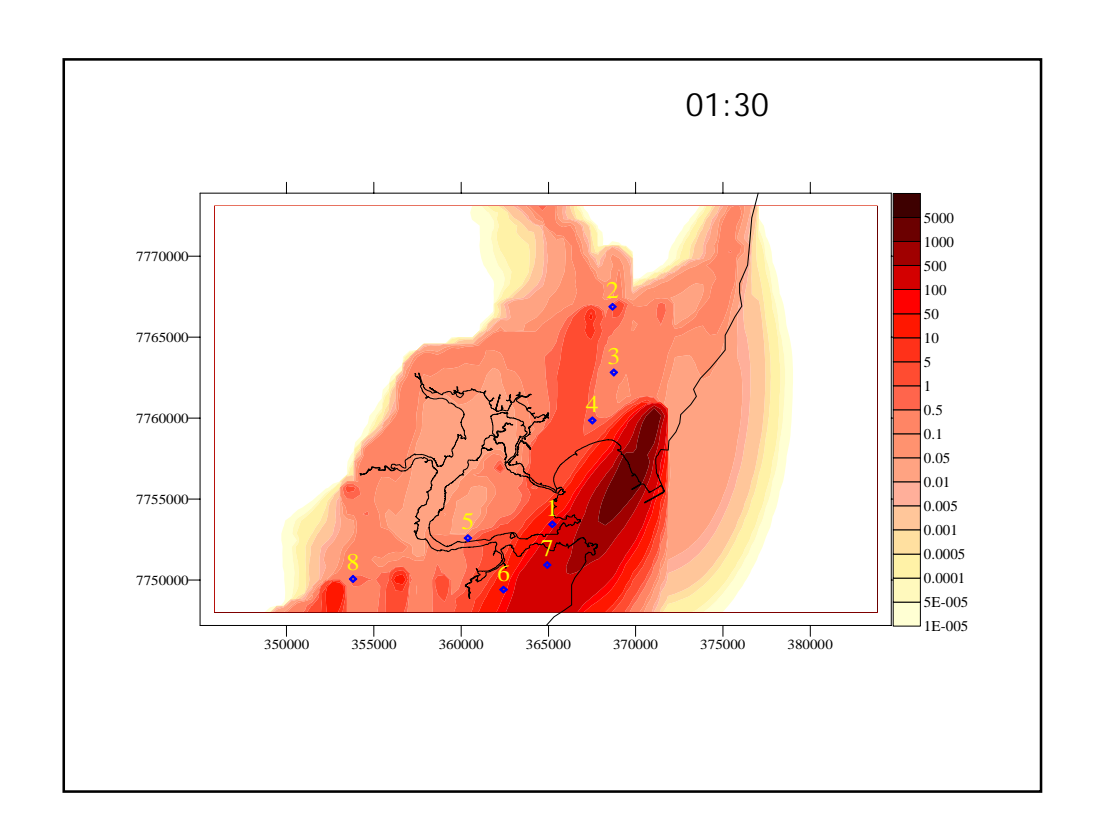


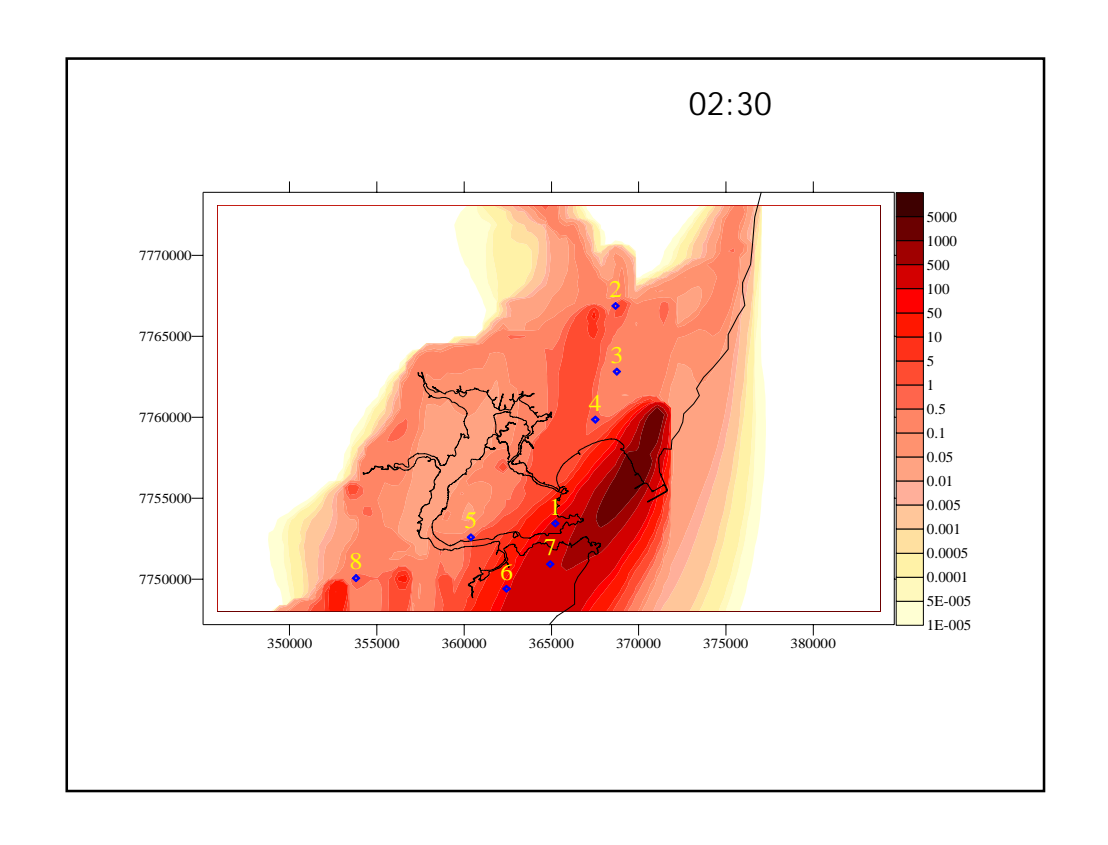


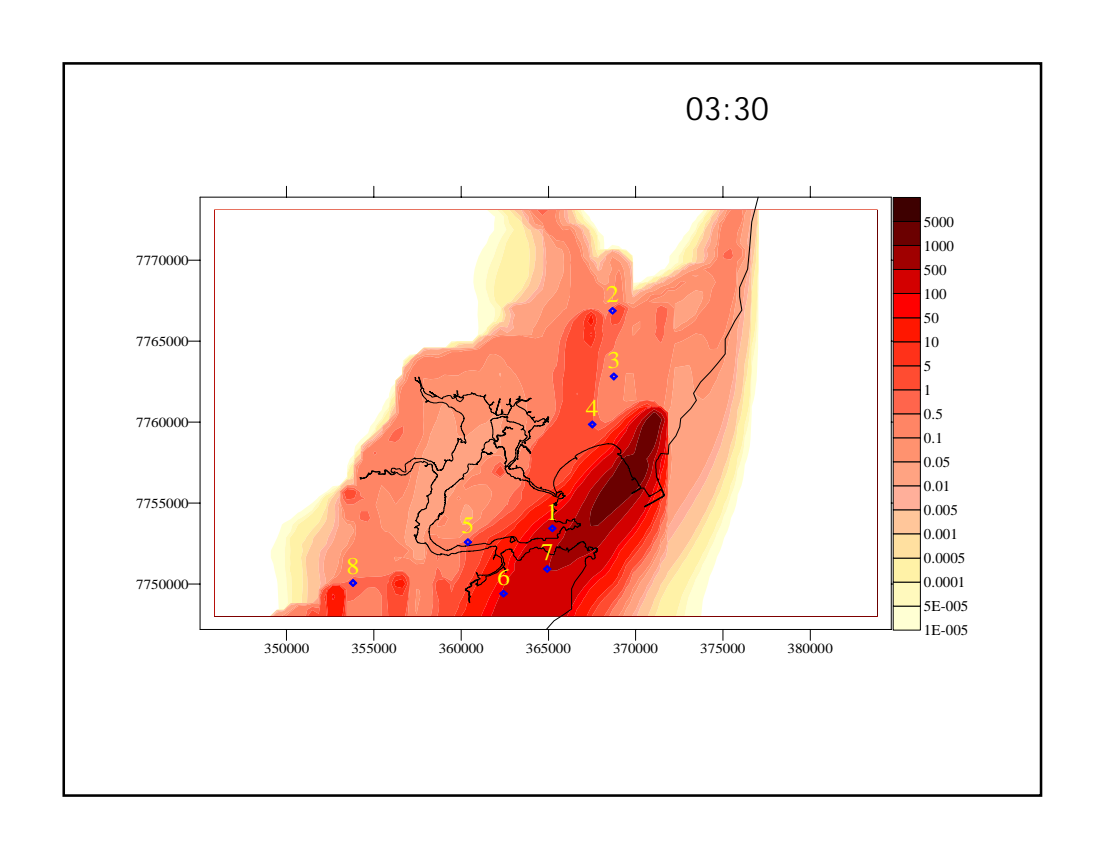


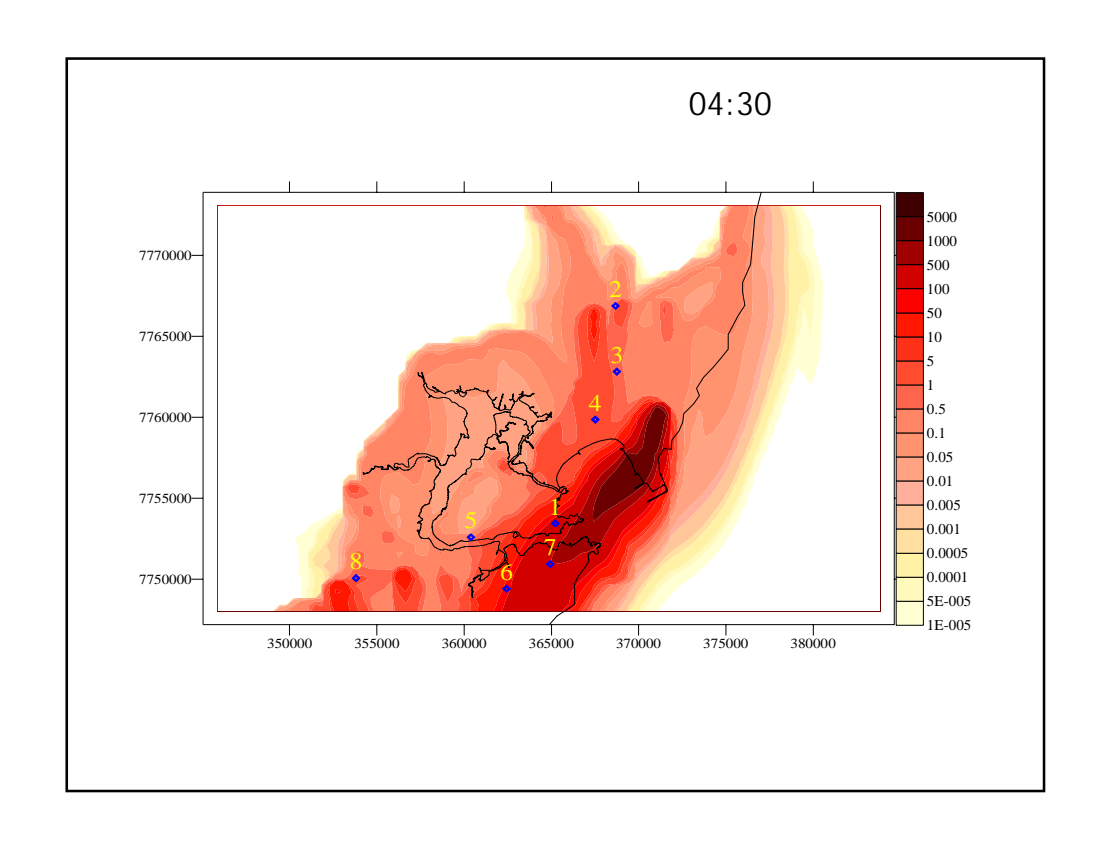


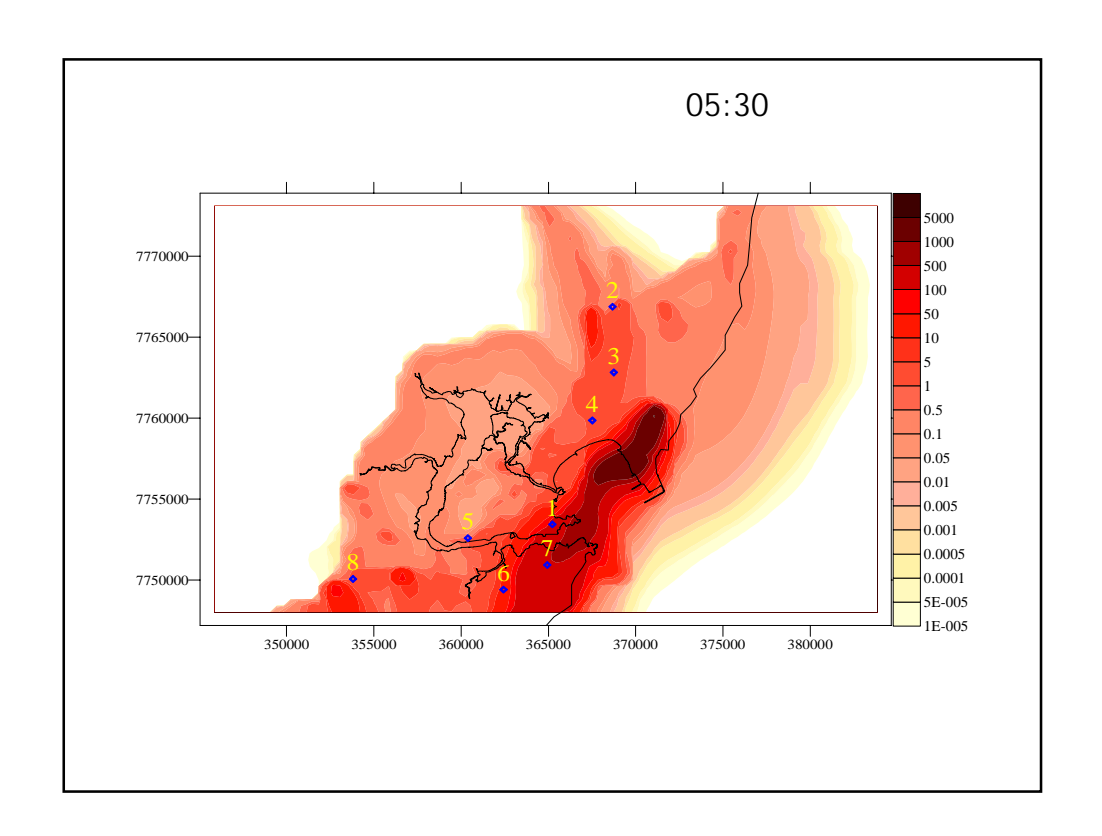


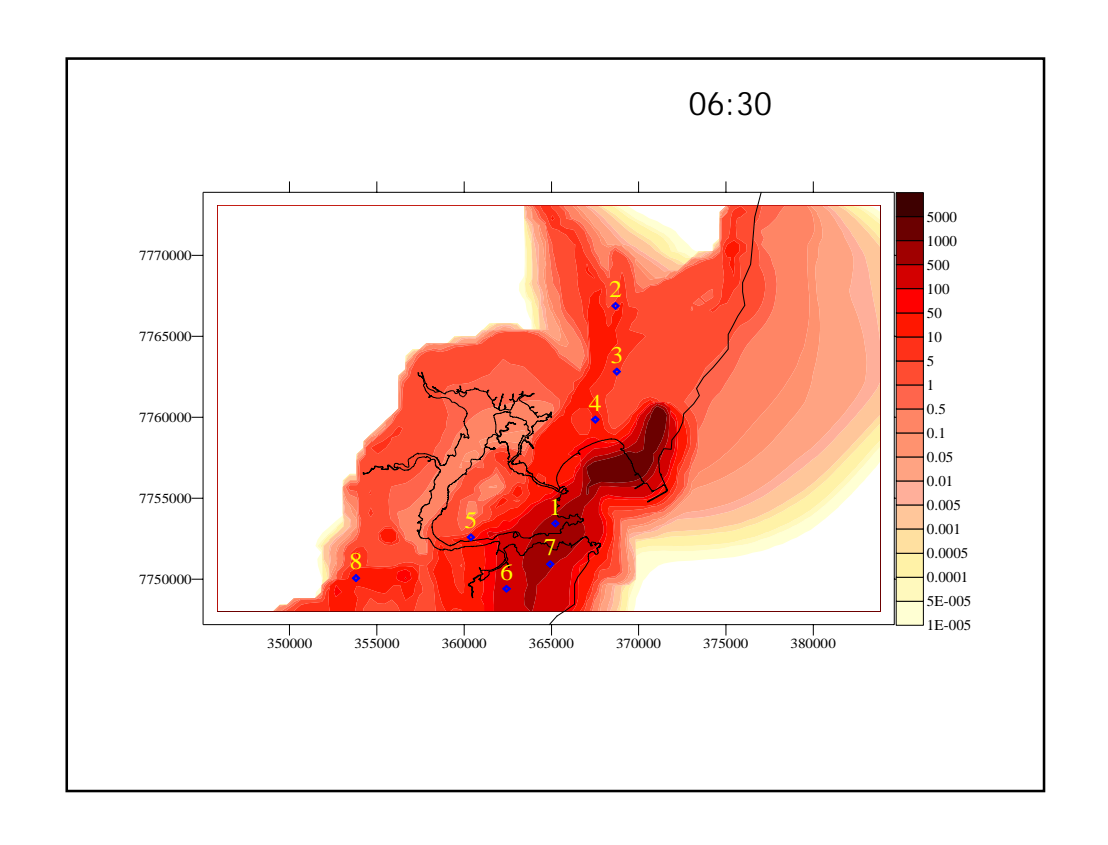


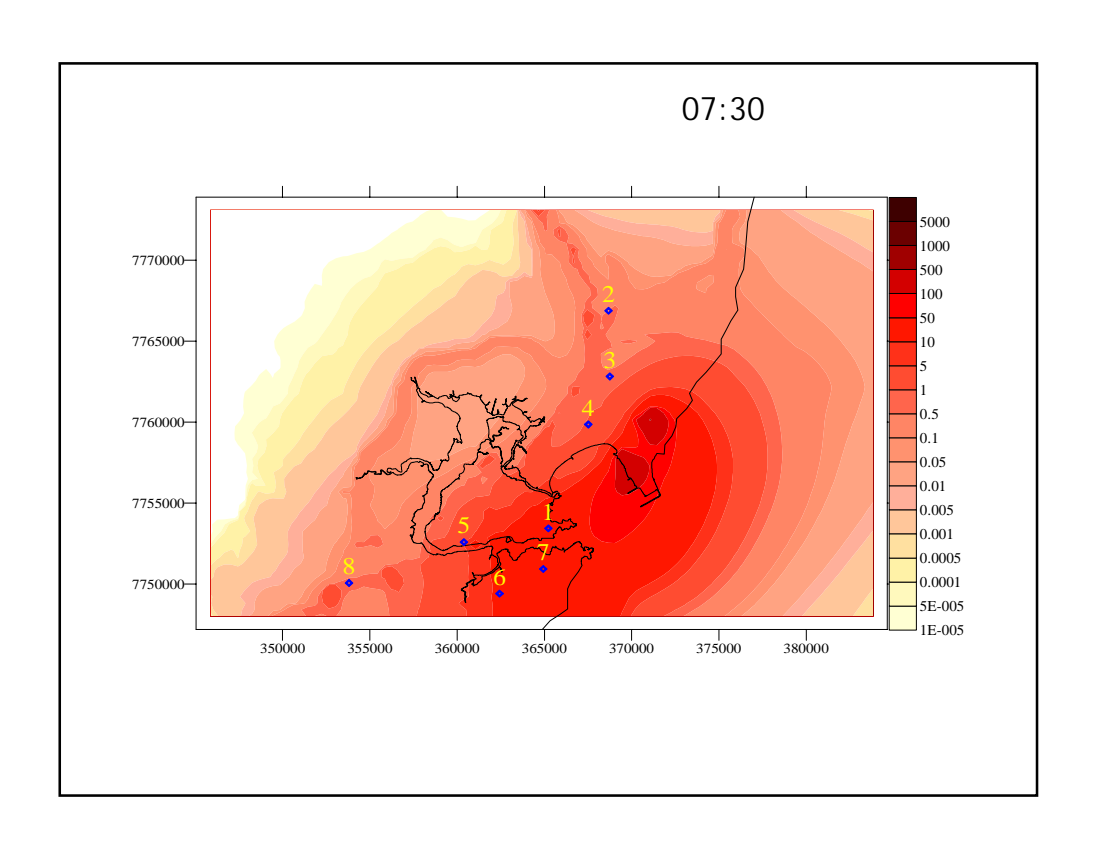


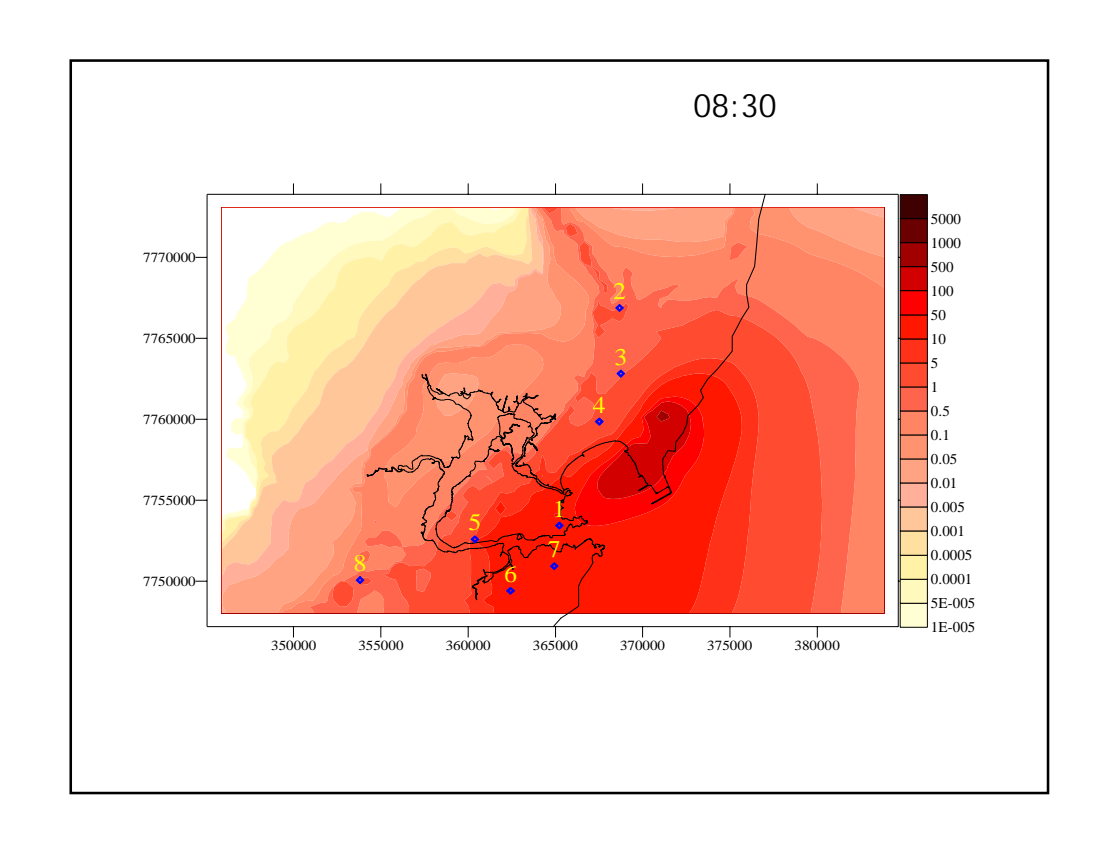


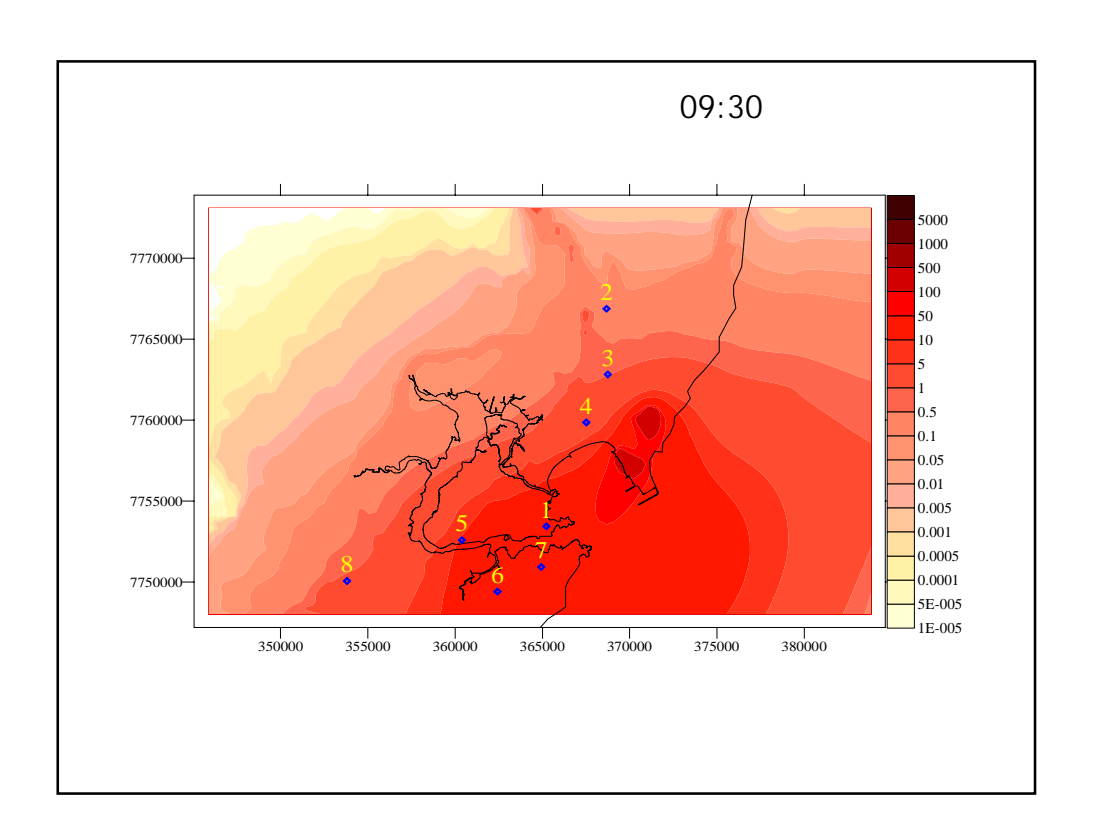


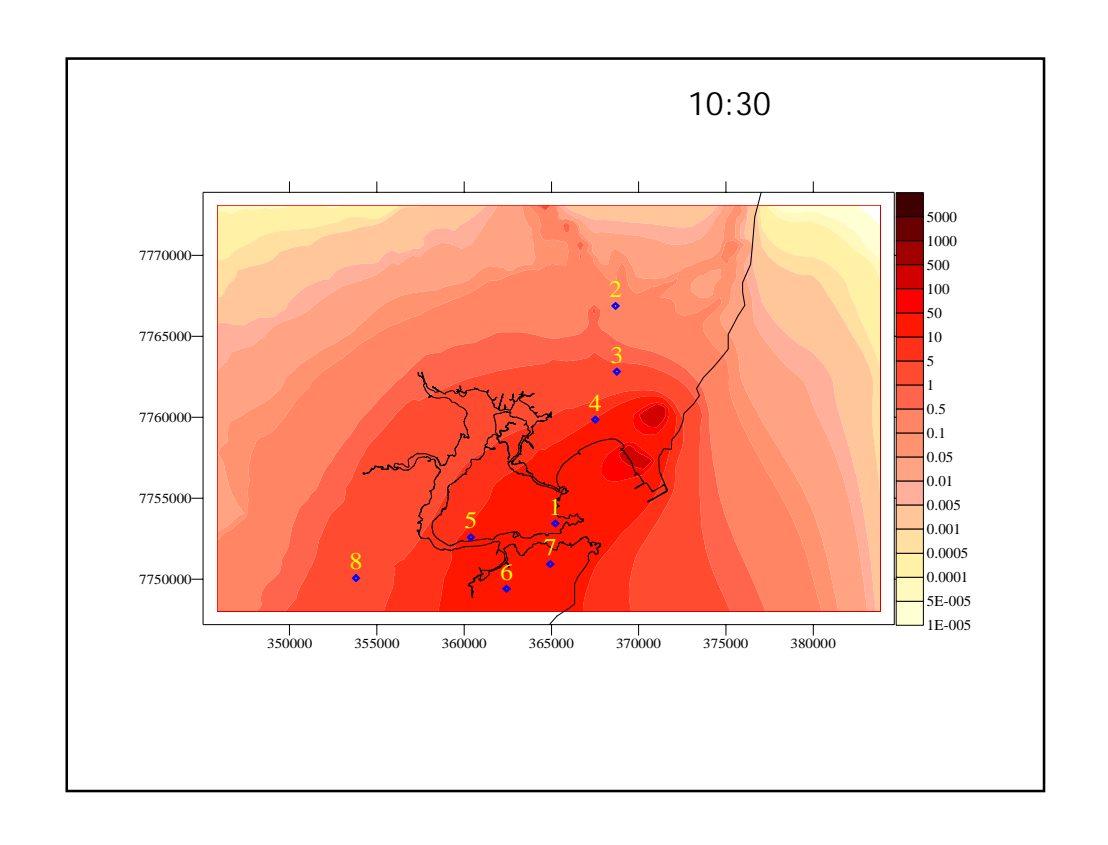


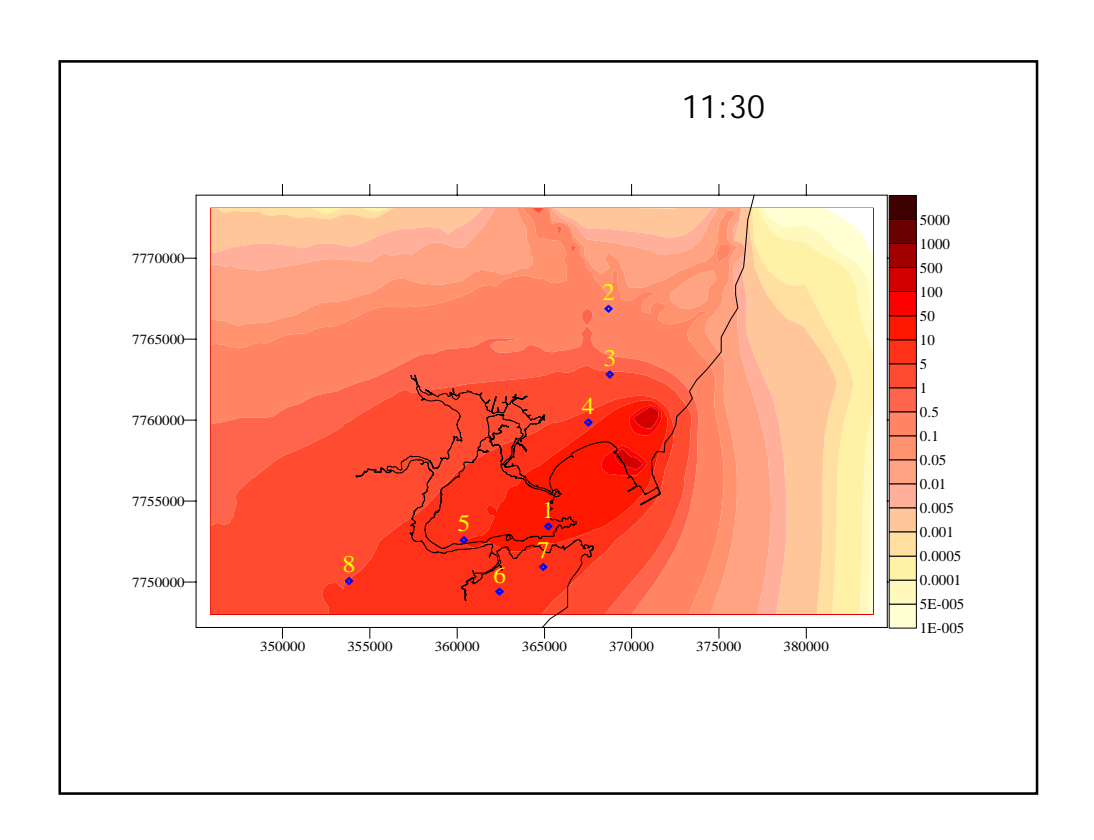


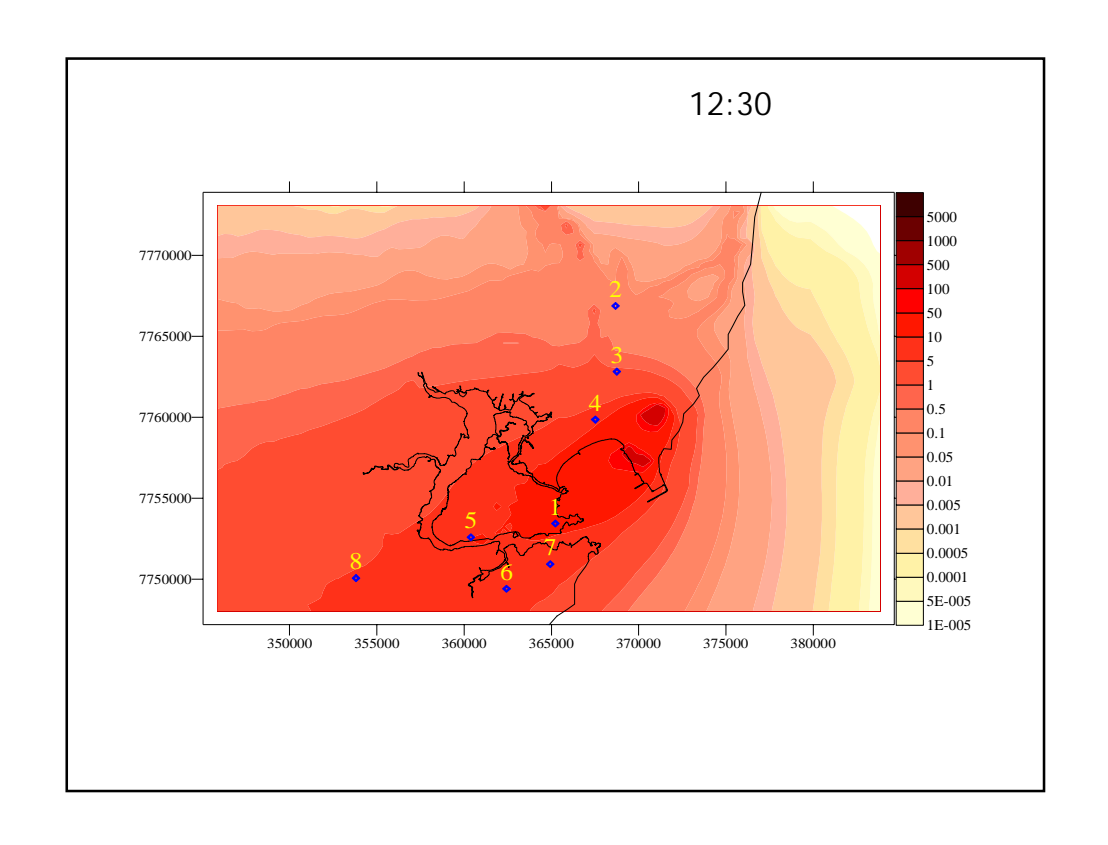


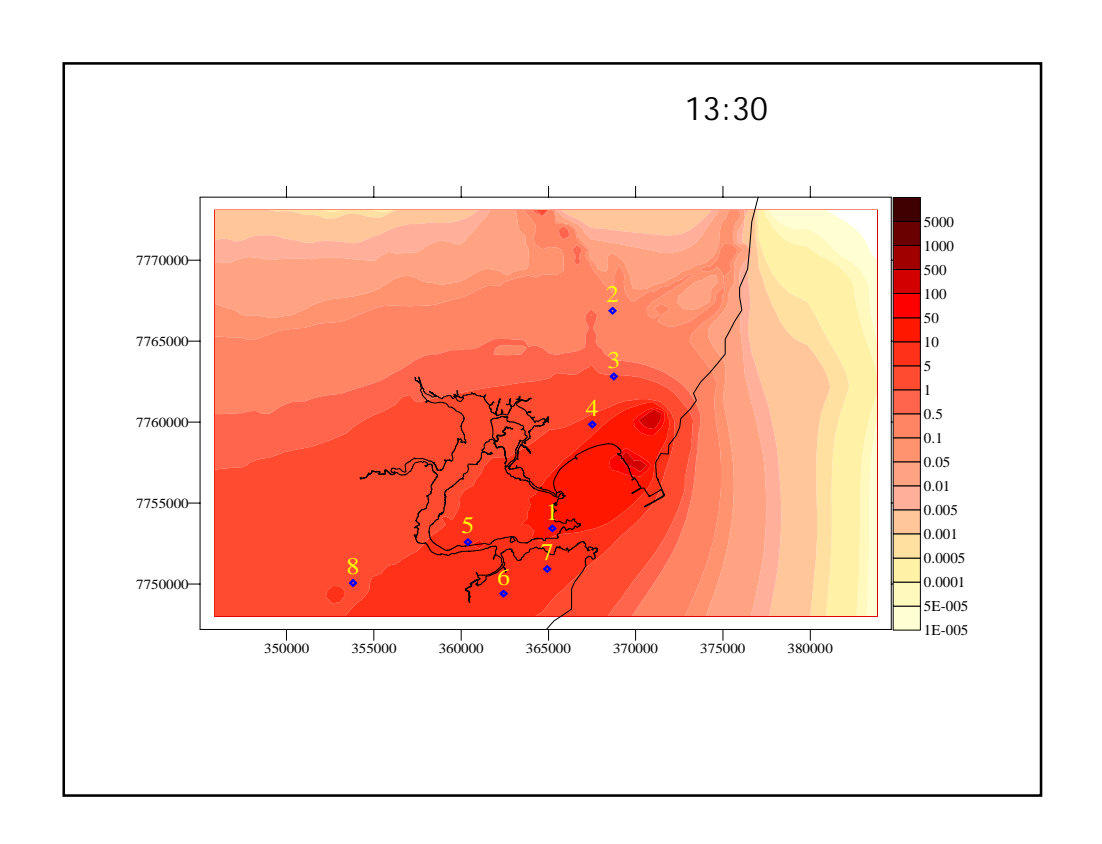


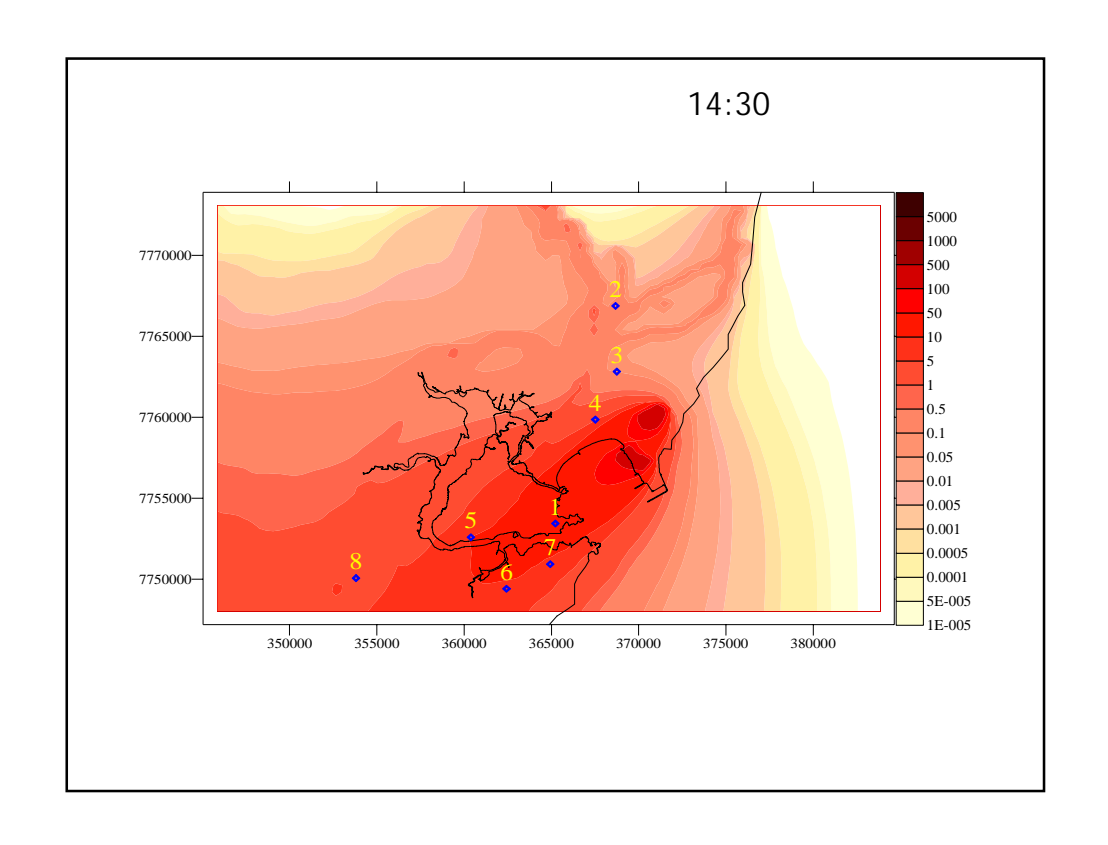


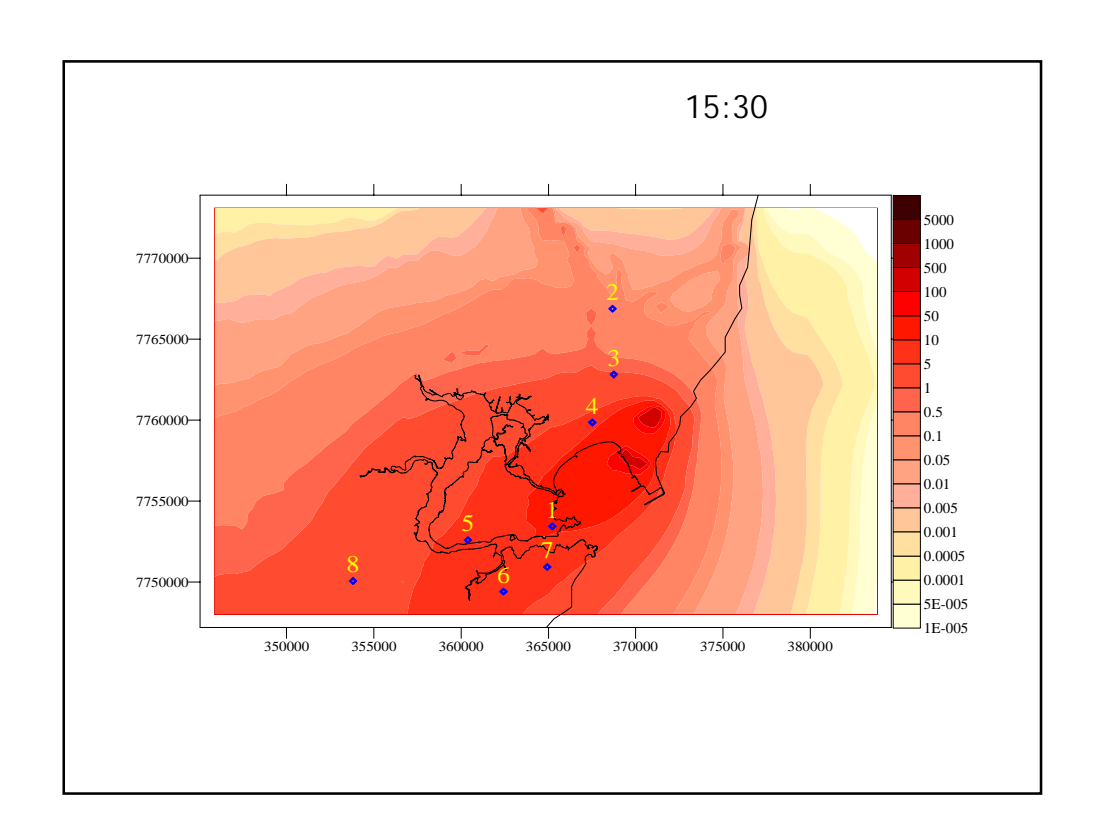


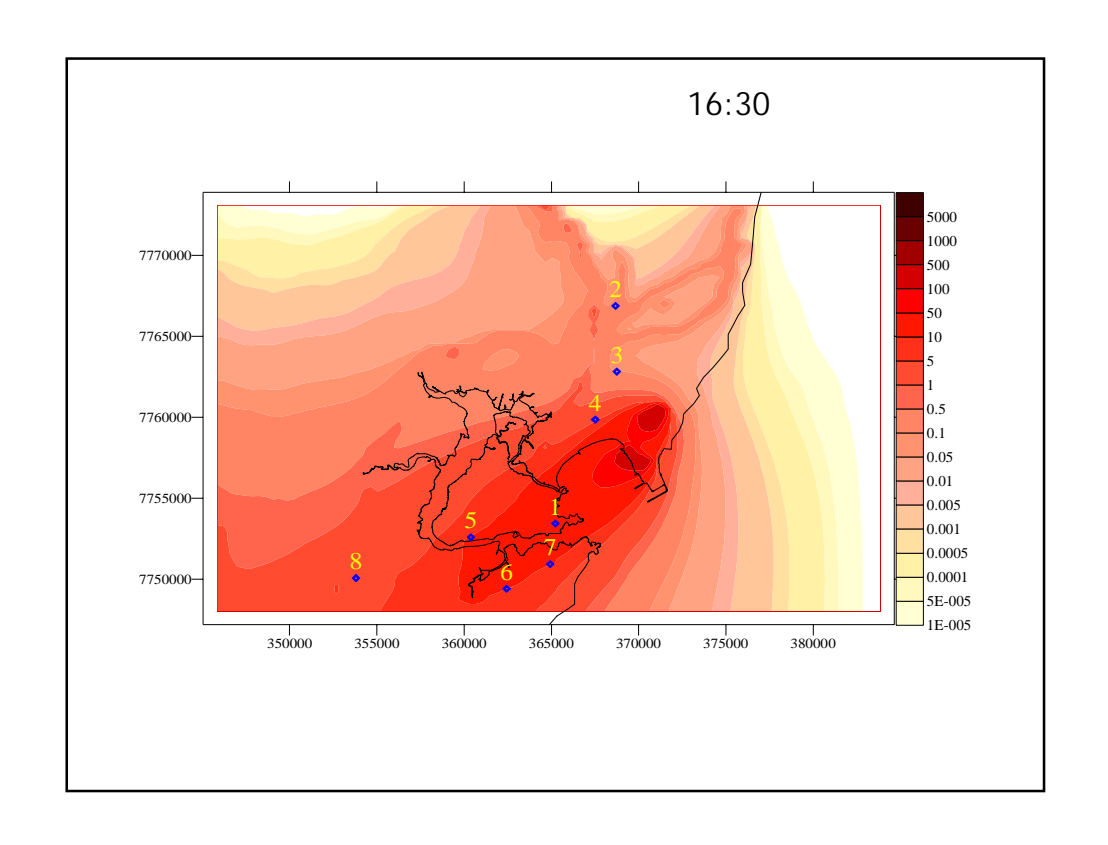


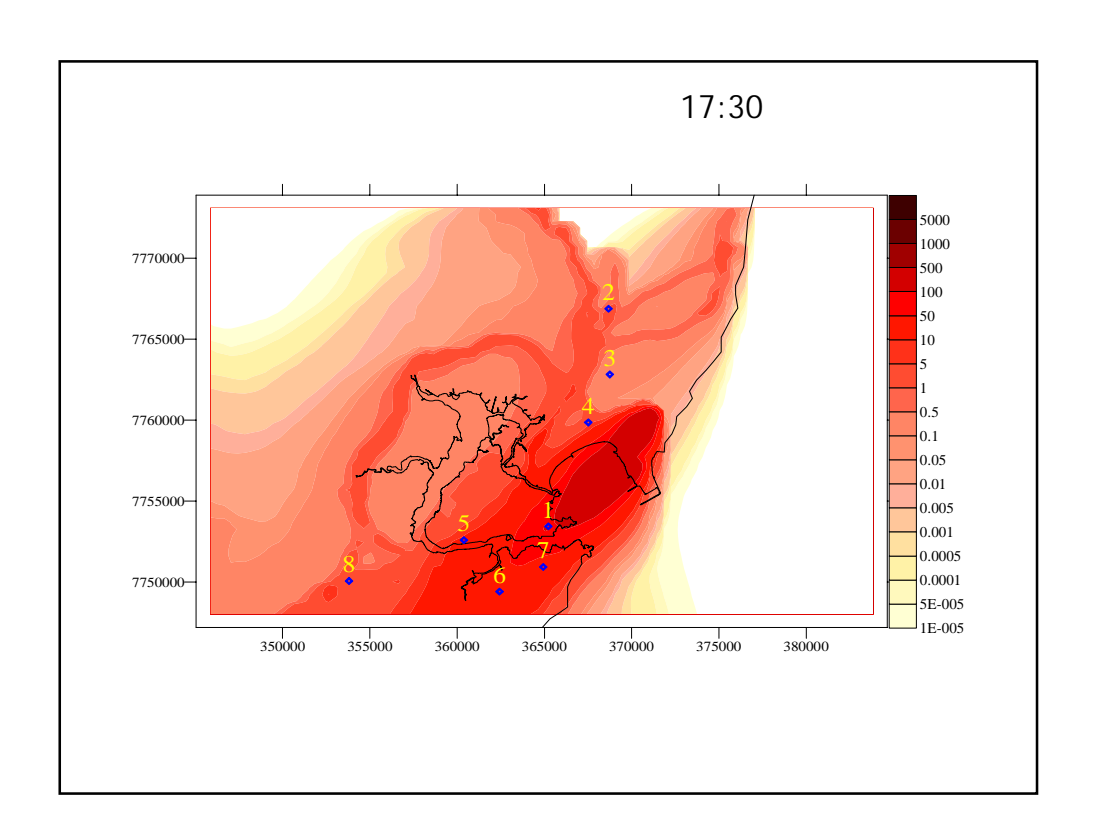


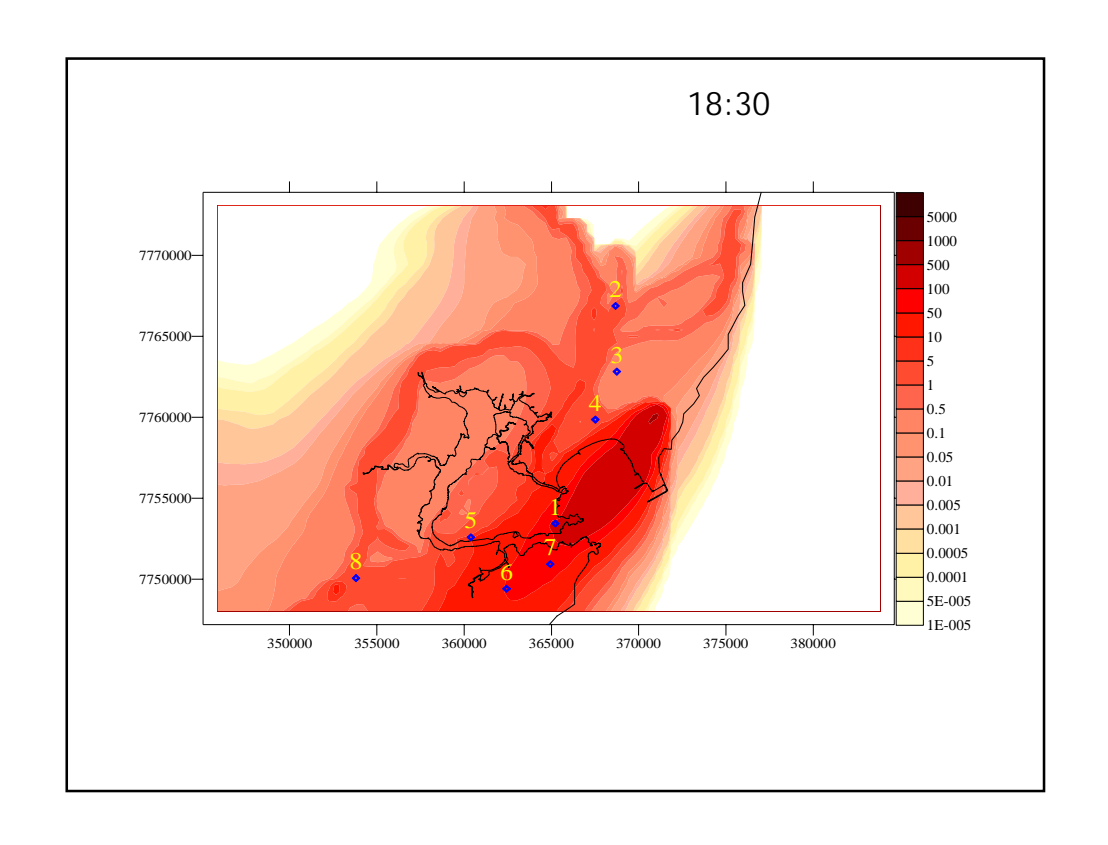


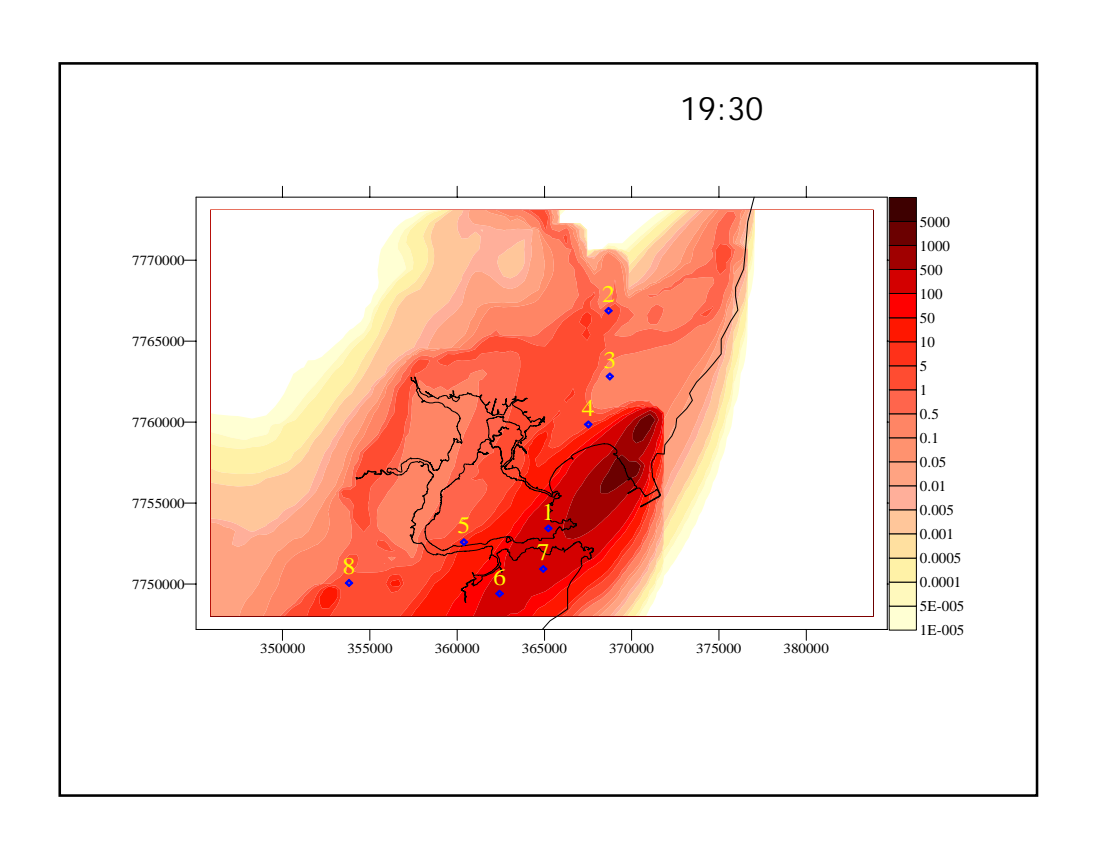


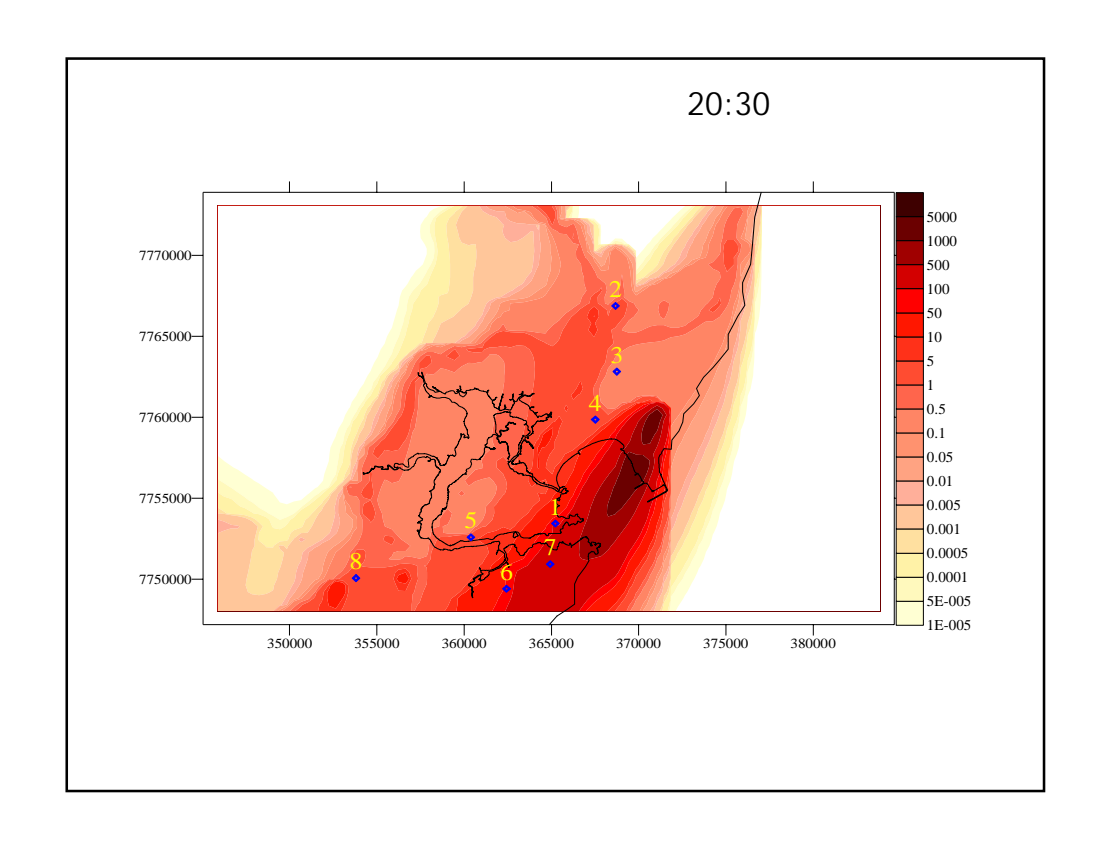


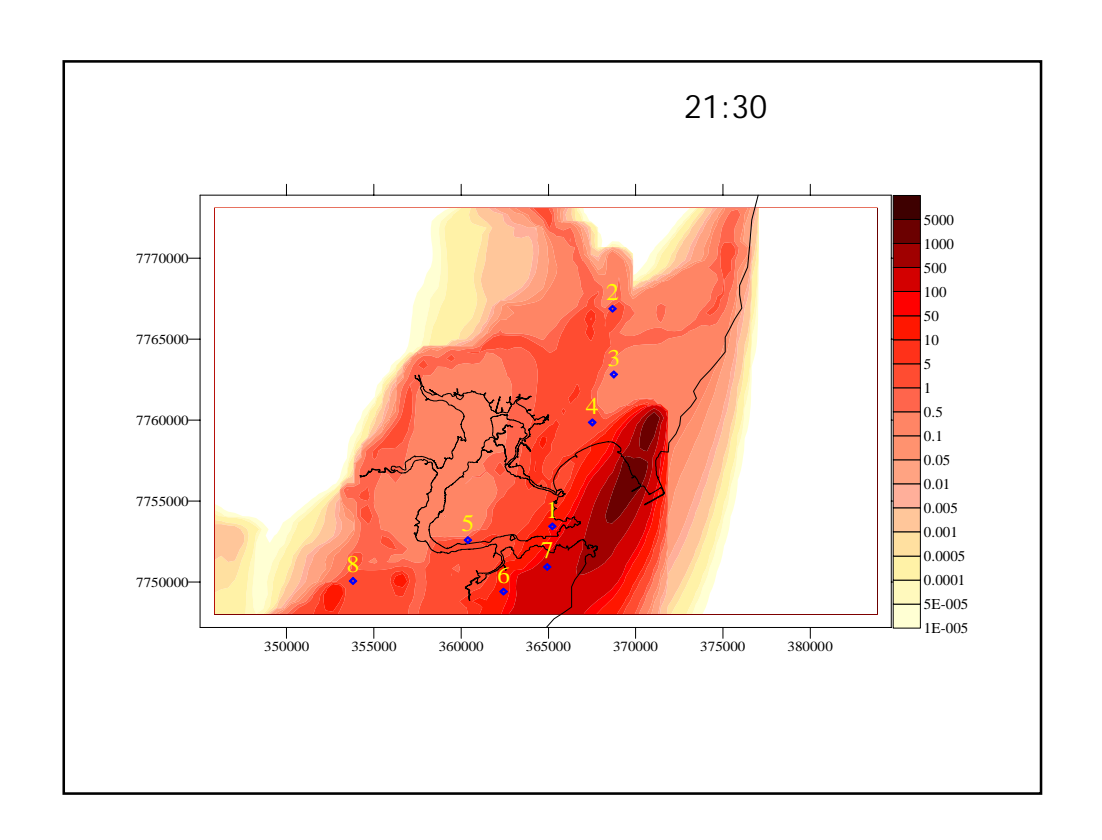


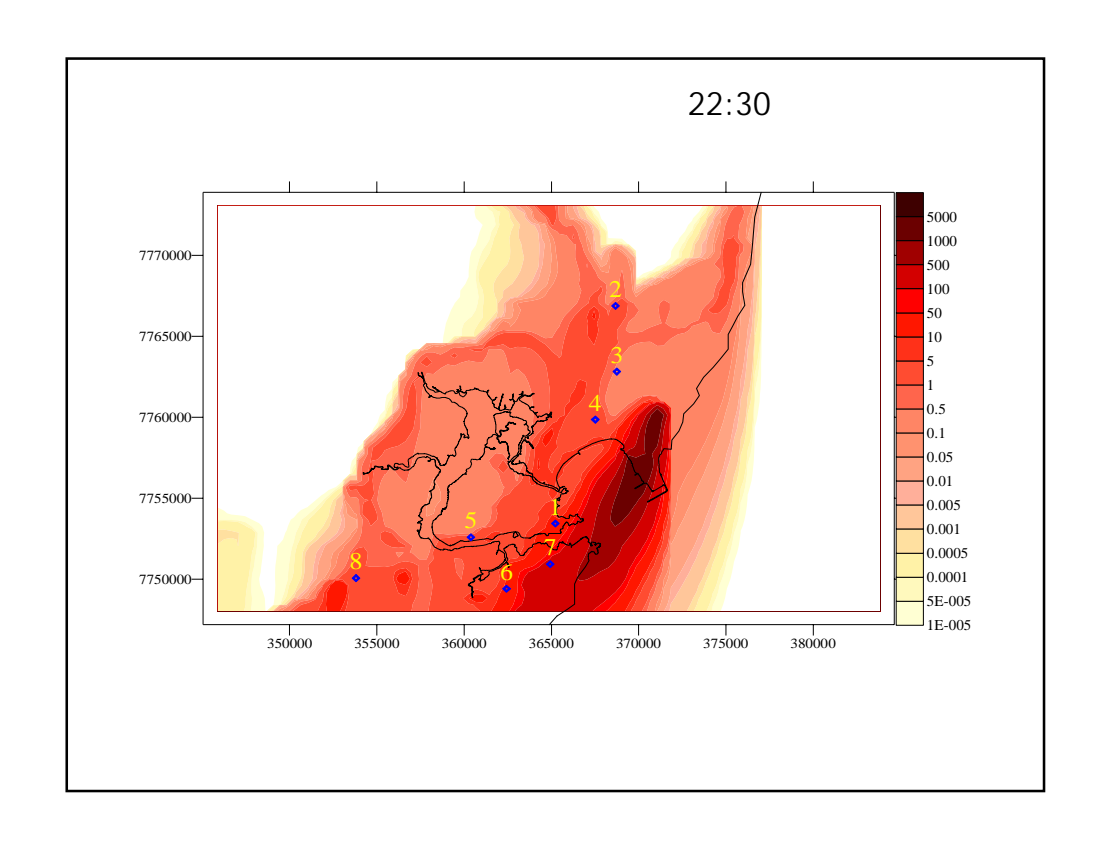


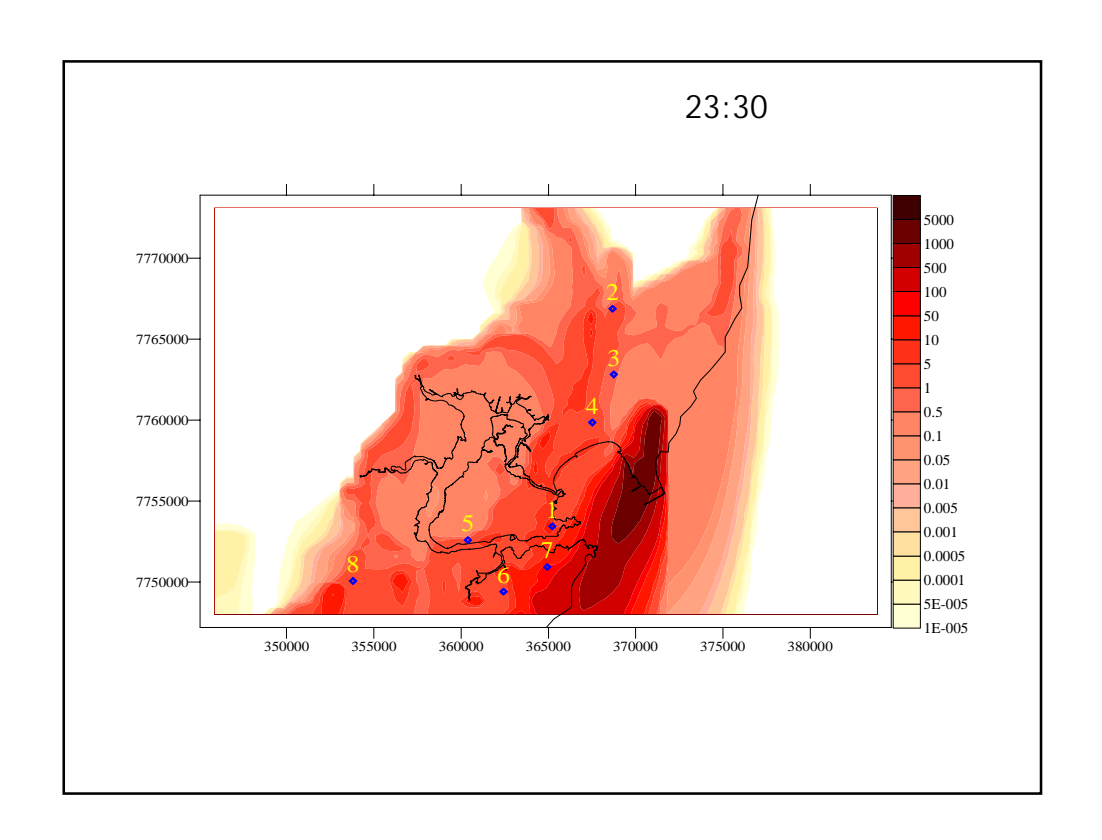


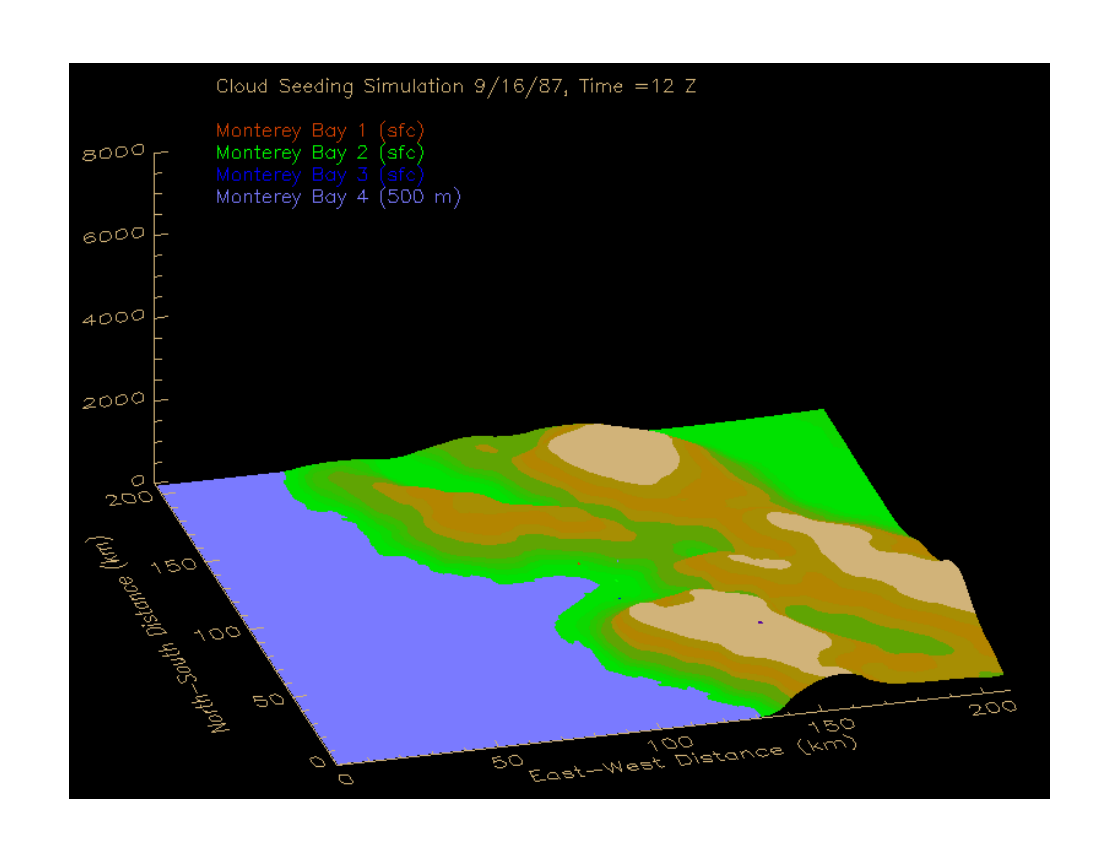












## MODELO RECEPTOR

## MODELO RECEPTOR

#### Princípio do modelo:

Atacar o problema de identificação da contribuição da fonte em ordem inversa, partindo da concentração do contaminante no receptor e localizando as fontes responsáveis pela emissão.

# LO RECEPTOR

## Princípio do modelo:

Atacar o problema de identificação da contribuição da fonte em ordem inversa, partindo da concentração do contaminante no receptor e localizando as fontes responsáveis pela emissão.

- Tipo de Modelo Receptor mais utilizado:
  - Balanço de Massa Químico CMB

#### •O que é?

Método que combina as características físicas e químicas dos contaminantes medidas nas fontes e nos receptores...

#### Objetivo

Quantificar as contribuições das fontes num receptor.

#### Exemplo:

Em uma região rural as medições de PM10 indicam uma concentração é 32  $\mu g/m^3$  na atmosfera, sendo que deste total 2.58  $\mu g/m^3$  de Si e 3.084  $\mu g/m^3$  de Fe.

Espécie	Concentração (µg/m3)
Si	2.58
Fe	3.084

Existem 2 fontes principais de PM10 na região, uma usina termoelétrica e emissões devido ao solo da região. Uma análise das emissões indica um teor de 20% de Si e 3,2% de Fe na composição do solo, enquanto as emissões da usina termoelétrica possuem um teor de 1% de Si e 15% de Fe.

Se considerarmos que  $C_S$  e  $C_T$  são as contribuições (em  $\mu$ g/m³) do solo e da usina termoelétrica,para as concentrações de PM10 na região tem-se:

$$PM10_{TOTAL} = C_S + C_T$$

Assim, desconsiderando as emissões por outras fontes não identificadas tem-se:

Contribuição do solo Contribuição da termoelétrica 
$$Si_{TOTAL} = Si_{SOLO} + Si_{TERMOELÉTRICA}$$
 
$$Fe_{TOTAL} = Fe_{SOLO} + Fe_{TERMOELÉTRICA}$$

Supondo que não ocorrem reações químicas durante a trajetória dos contaminantes entre a fonte e o receptor, então, as proporções de Si e Fe são constantes e iguais aos valores iniciais quando atingem o receptor. Portanto:

$$Si_{SOLO} = 0.2 \times C_S$$
  $Si_{TERMOELÉTRICA} = 0.01 \times C_T$   $Fe_{SOLO} = 0.032 \times C_S$   $Fe_{TERMOELÉTRICA} = 0.15 \times C_T$ 

Logo, tem-se: 
$$\begin{cases} Si_{TOTAL} = 0.2 \times C_S + 0.01 \times C_T \\ Fe_{TOTAL} = 0.032 \times C_S + 0.15 \times C_T \end{cases}$$
 ou: 
$$\begin{aligned} C_S &= 37.5 \% \text{ e C}_T = 56.2 \% \\ C_S &= 12 \ \mu\text{g/m}^3 \text{ e C}_T = 18 \ \mu\text{g/m}^3 \end{aligned}$$
 
$$2.58 = 0.2 \times C_S + 0.01 \times C_T \\ 3.84 = 0.032 \times C_S + 0.15 \times C_T \end{aligned}$$

- -O exemplo anterior representa uma situação relativamente simples. Quanto maior o número de fontes de emissão envolvidas maior será a complexidade do modelo.
- -A presença de um número maior de espécies "traçadoras" aumentará a precisão do resultado. Todavia, com o aumento do número de espécies o problema não mais se resumirá a solução de sistema de equações lineares de *n* equações com *n* ingónitas.

#### Balanço de Massa Químico - CMB

(Incluindo as incertezas nas medições de concentração)

Miller et al. (1972).

- Modelos de Balanço de Massa em uso atualmente consideram n fontes e m espécies químicas (onde m é sempre um número maior ou igual a n).
- -Além de considerar um maior número de espécies químicas os modelos dão mais peso à medidas com menores incertezas.
- -A formulação matemática é efetuada utilizando multiplicação de matrizes.

## Balanço de Massa Químico – CMB (Exemplo Real)

### Receptor

Composição Anual (1988 a 1989) do Aerossol em Fresno, Califórnia (µg/m³).

Espécie	PM2,5					
NO3	9.43 +- 11.43					
SO4	2.75 +- 1.32					
NH4	4.04 +- 3.89					
EC	6.27 +- 5.68					
OC	8.05 +- 5.31					
Al	0.15 +- 0.18					
Si	0.38 +- 0.46					
S	1.12 +- 0.54					
K	0.28 +- 0.18					
V	0.0034 +- 0.0019					

Fonte: resumido de Chow et al., citados por Seinfeld et al., (1998).

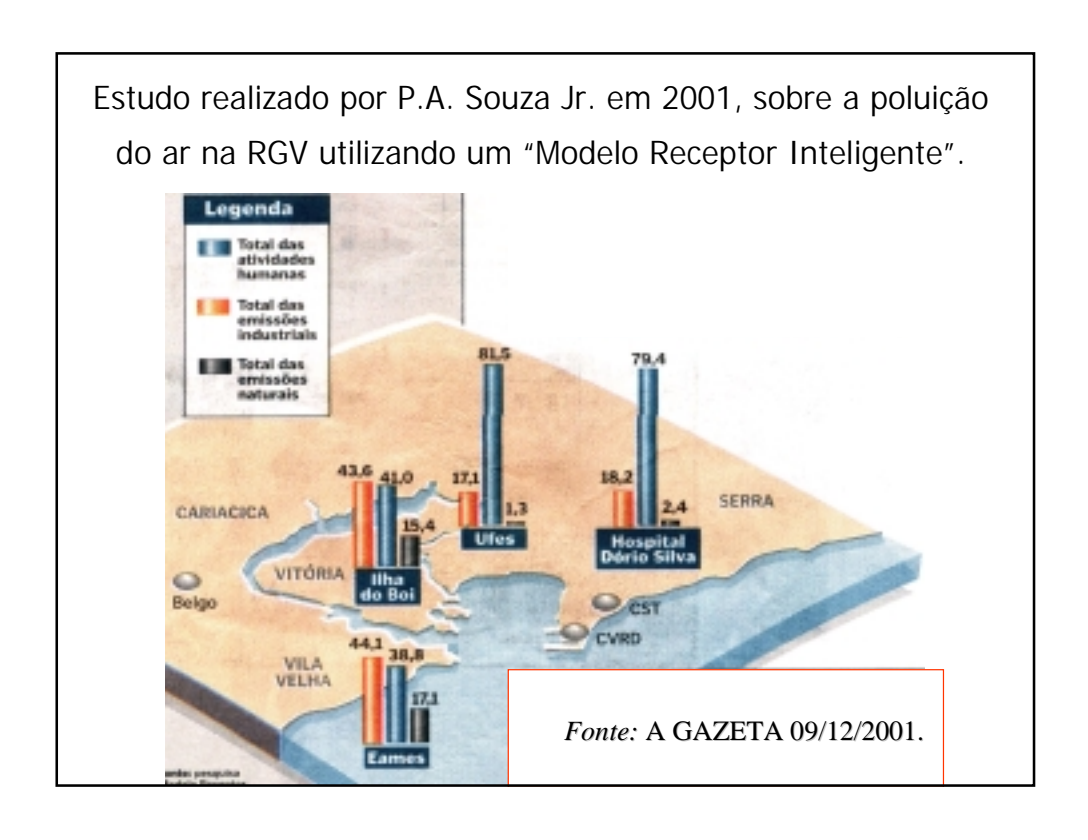
#### **Fontes**

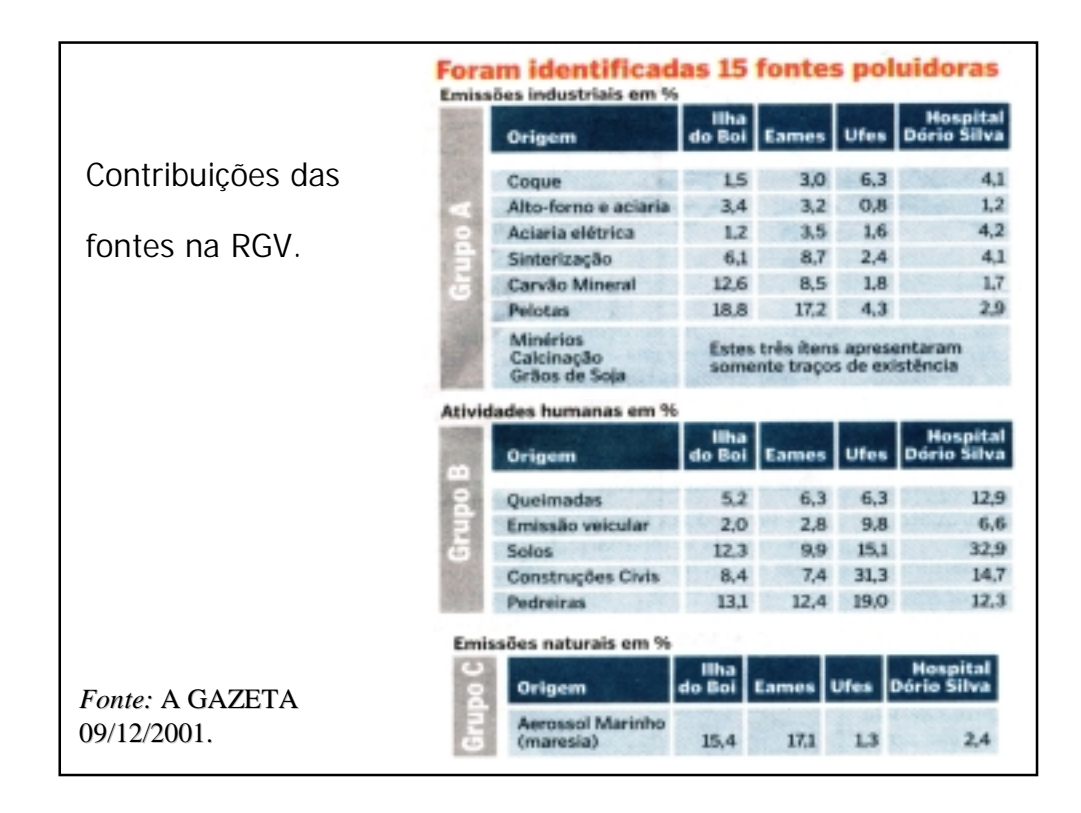
Perfis das fontes (% da massa emitida) para a Califórnia Central.

	Queimadas	Óleo	Veículo	Calcáreo	(NH4)2SO4	NH4NO3	OC
<b>Espécie</b>		cru					sec.
NO3	0.462	0	0	0	0	77.5	0
<b>SO4</b>	1.423	20.32	3.11	3.06	72.7	0	0
NH4	0.0852	0.0076	0	0	27.3	22.5	0
EC	15.89	0	54.15	0	0	0	0
OC	44.6	0.0894	49.81	0	0	0	100
Al	0.0019	0	0.077	2.11	0	0	0
Si	0	0.011	0.957	6.5	0	0	0
S	0.521	5.45	1.037	1.02	0	0	0
K	3.993	0.044	0.008	0.16	0	0	0
V	0.0005	0.823	0.001	0	0	0	0

Fonte: resumido de Chow et al., citados por Seinfeld et al., (1998).

	FONTE	PM2,5
Resultado	Geológica	-
Nosanado	Veículo	12,32
Contribuições	Queimadas	6,90
	Óleo cru	0,40
médias anuais das	Sulfato de amônia	2,77
fontes (μg/m³) para	Nitrato de amônia	13,15
PM2,5 em Fresno –	Aerossóis marinhos	-
FIVIZ,5 EIII I 1 E3110 –	OC	-1,17
Califórnia.	Calcáreo	5,99
	Massa calculada	41,53
	Massa medida	49,30





#### Suposições do CMB:

- As composições das fontes de emissão são constantes.
- As espécies incluídas não são reativas.
- Todas as fontes que contribuem significativamente no receptor devem ser incluídas nos cálculos.
- O número de fontes é menor ou igual ao número de espécies.
- As incertezas das medidas são aleatórias, não relacionadas e normalmente distribuídas.

#### Suposições do CMB:

- As composições das fontes de emissão são cor intes.
- As espécies incluídas não são livias
- Todas as fontes que contribued
  receptor devem ser incluídas
- O número de fontes és espécies.
- As incertezas das medidas sao e normalmente distribuídas.

n as, não relacionadas

## **MODELOS EPA-US**

(Environmental Protection Agency-US)

http://www.epa.gov/scram001/

## **EPA - Technology Transfer Network Support Center for Regulatory Air Models**

Support Center for Regulatory Air Models (Links)

- What's New
- Public Forum
- Dispersion Models ←
- Receptor Models ← Modelo Receptor CMB 8.0

Modelos

- Meteorological Data
- Guidance/Support ←
- 7th Modeling Conference
- Related Links and Contacts
- Regional Modeling Center

Manuais da EPA para Estudo de Impacto Ambiental, Avaliação da Qualidade do Ar e Elaboração de

Modelos de dispersão de poluentes na atmosfera para diversas

situações (executáveis, código fonte, manuais e tutoriais)

#### Modelos de dispersão de poluentes na atmosfera

#### Preferred/Recommended Models

Modelos de dispersão homologados pela EPA para avaliação da qualidade do ar e estudos de impacto ambiental. Os resultados destes modelos são "acreditados" para fins de licenciamento pela EPA.

#### **Screening Tools**

Ferramentas de avaliação de impacto ambiental. Por exemplo, com base nos dados meteorológicos e dados da fonte, são apresentados os valores máximos de concentração no nível do solo. Estás ferramentas são normalmente utilizadas antes de um estudo mais detalhado.

#### Alternative Models (Case-by-Case)

Lista de modelos mais refinados e/ou desenvolvidos para situações específicas.

## Considerações Finais

- Modelos matemáticos representam importantes ferramentas para a gestão da qualidade do ar, especialmente para o estudo de impacto ambientais (EIA).
- A análise dos resultados deve sempre levar em consideração a acurácia do modelo e sua aplicabilidade à situação em estudo.

## Exercício da Aprendizagem

Determine a concentração de SOx no receptor causada por cada uma das fontes de emissão descritas na tabela da página seguinte.

- Considere o vento predominante na Região da Grande Vitória igual a 1m/s e de direção NNE.
- As coordenadas do receptor são:
  - x = 365000 m [UTM]
  - y = 7753500 m [UTM]

Fonte	Coordenada UTM X (m)	Coordenada UTM Y (m)	Altura da fonte h (m)	Vazão de gases na fonte Q (m³/s)	Temperatura do gás na saída da fonte T (K)	Vazão mássica lançada de SO <sub>2</sub> Qm (g/s)	Diâmetro da fonte na saída do gás D (m)
FON A1	369430	7757930	59	207.4	450	14.086	6.0
FON A2	369475	7757900	65	129.3	350	21.128	3.5
FON A3	369470	7757920	59	230.6	450	31.500	5.7
FON A4	369470	7757930	65	157.8	350	47.250	3.5
FON A5	369460	7757910	59	267.9	460	66.706	5.0
FON A6	369460	7757910	61	130.4	340	100.060	3.5
FON A7	369380	7757780	59	236.5	460	36.606	5.0
FON A8	369355	7757900	60	155.1	350	54.908	3.5
FON A9	370190	7757470	50	339.1	460	136.457	5.7
FON A10	370270	7757340	53	191.8	370	204.686	3.6
FON A11	370260	7757500	50	412.6	440	121.954	5.7
FON A12	370280	7757345	53	203.9	390	182.921	3.6
FON B1	371460	7767104	64	2.1	470	5.133	0.8
FON B2	371400	7767150	42	3.8	470	2.112	1.2
FON C1	371135	7761095	186	75.5	470	156.217	7.2
FON C2	371300	7760980	186	51.5	470	22.553	7.2
FON C3	371185	7760745	106	406.0	430	114.288	6.3
FON C4	370450	7761200	101	195.3	550	33.612	5.5
FON C5	370690	7761410	86	467.8	450	45.046	4.9
FON C6	370397	7763006	56	162.0	870	26.880	2.0
FON C7	370700	7761730	66	37.7	440	1.279	3.0
FON C8	370690	7761715	66	38.6	430	1.516	3.0

